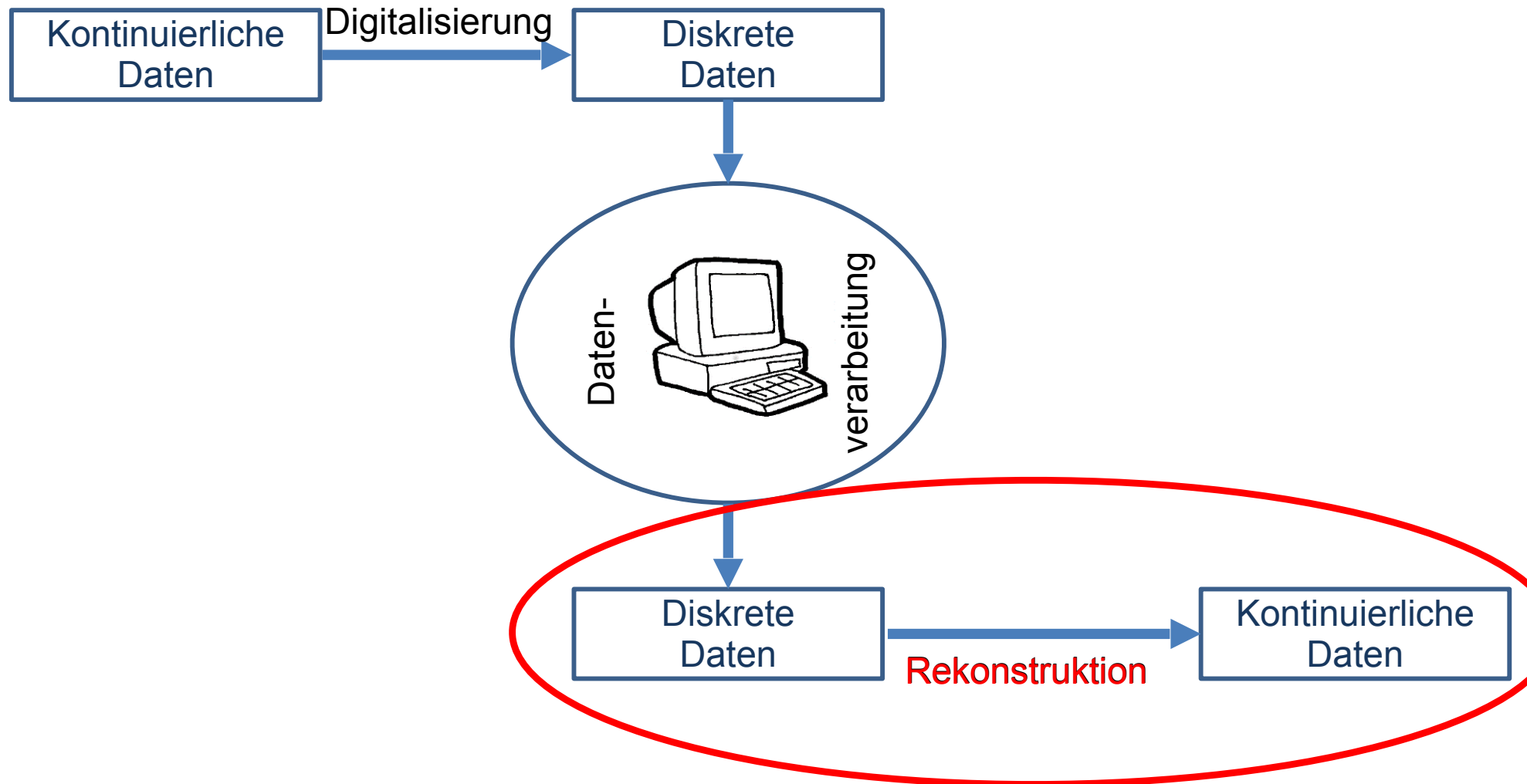


Algorithmik kontinuierlicher Systeme

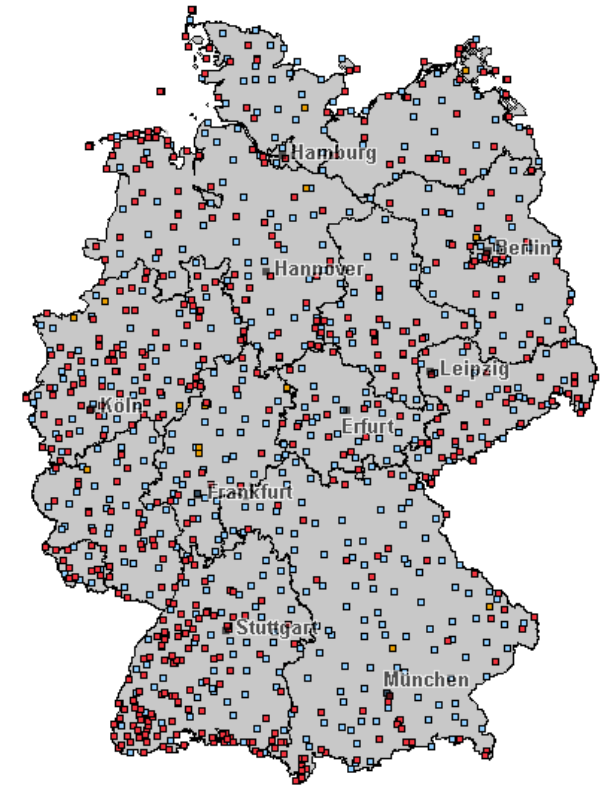
Rekonstruktion kontinuierlicher Daten – Interpolation 1D



- Rekonstruktion kontinuierlicher Daten aus diskreten Daten



- Digital-Analog-Wandlung : D/A Wandler
- Äquidistante Abtastung: Abtast-Theorem
 - Falls Voraussetzungen erfüllt, Rekonstruktion mit sinc-Funktion
 - Die Voraussetzungen sind in konkreten Anwendungen meist nicht gegeben
 - Beispiel Wetterkarte



Wetterstationen
Deutschland

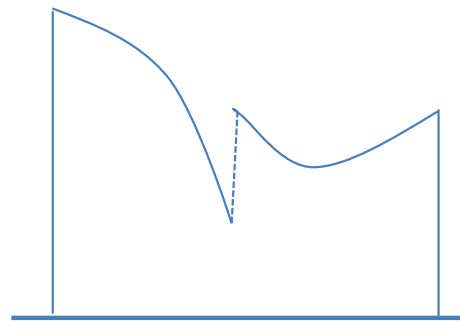
- Alternativen: Interpolation und Approximation

- Rekonstruktion „kontinuierlicher Daten“ aus diskreten
 - Gegeben „Punkte“
 - Gesucht stetige (glatte) „Kurve“ (oder Fläche, oder Körper)

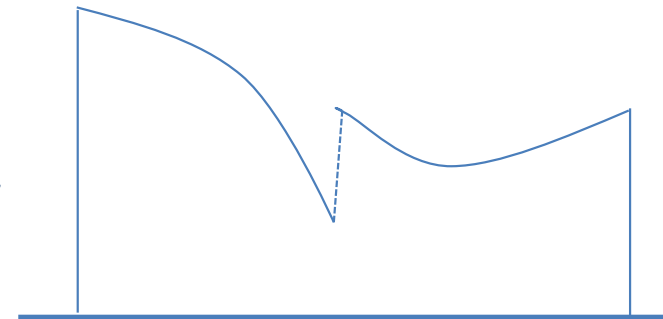
- Beispiele:
 - CAD-Daten aus Abtastwerten eines Modells errechnen
 - Vermessung: Geo-Informationssysteme (Digitale Höhenmodelle, Erstellung digitaler Landkarten)
 - Rückwandlung digitalisierter Signale in analoge Signale (Bilder, Audio, Video, Umrechnung von Bildauflösungen, Abtastraten, etc.),
 - „In-Betweening“ bei Animationen – Key frame Animation
 - „Zoomen“ digitaler Daten

- Zoomen eines digitalen Bildes bei fester Auflösung
- anschaulich: Grauwertbild, nur eine Bildzeile

kontinuierlich



original: $f(x)$

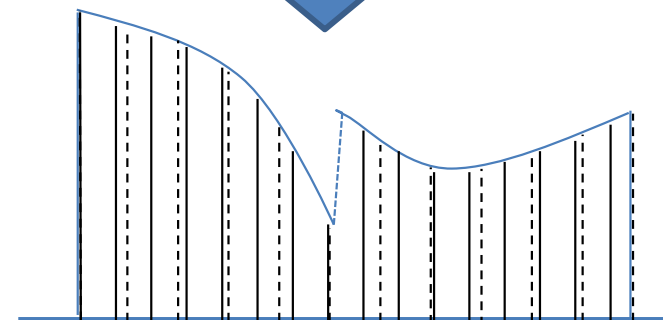
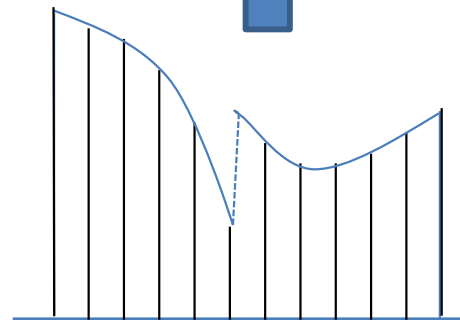


Zoomfaktor: 1.7

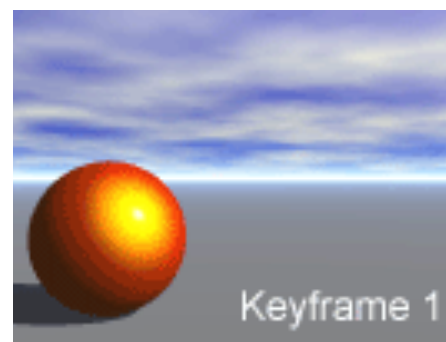
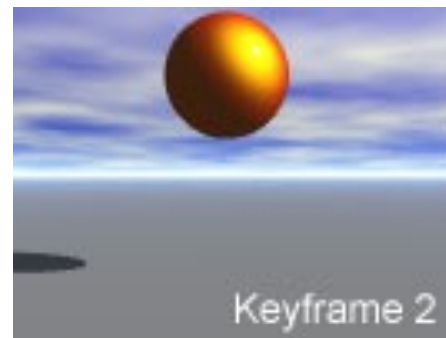
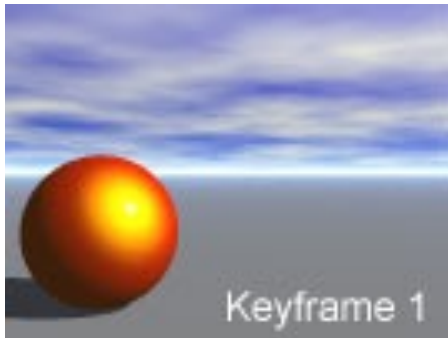
$$g(x) = f(x/1.7)$$



diskret (10dpi)

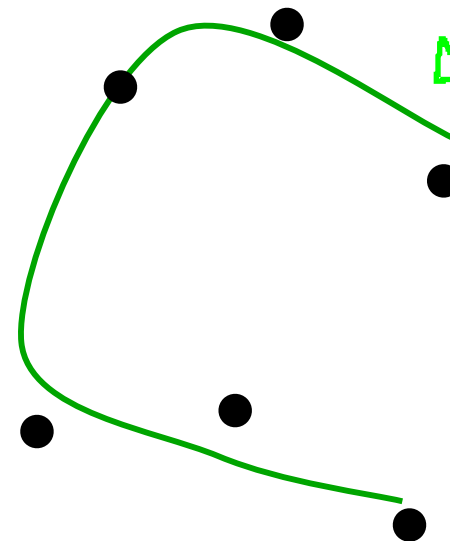
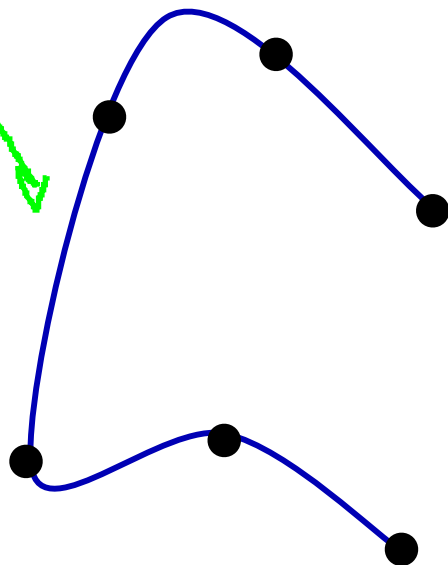


1. rekonstruieren
2. resampeln

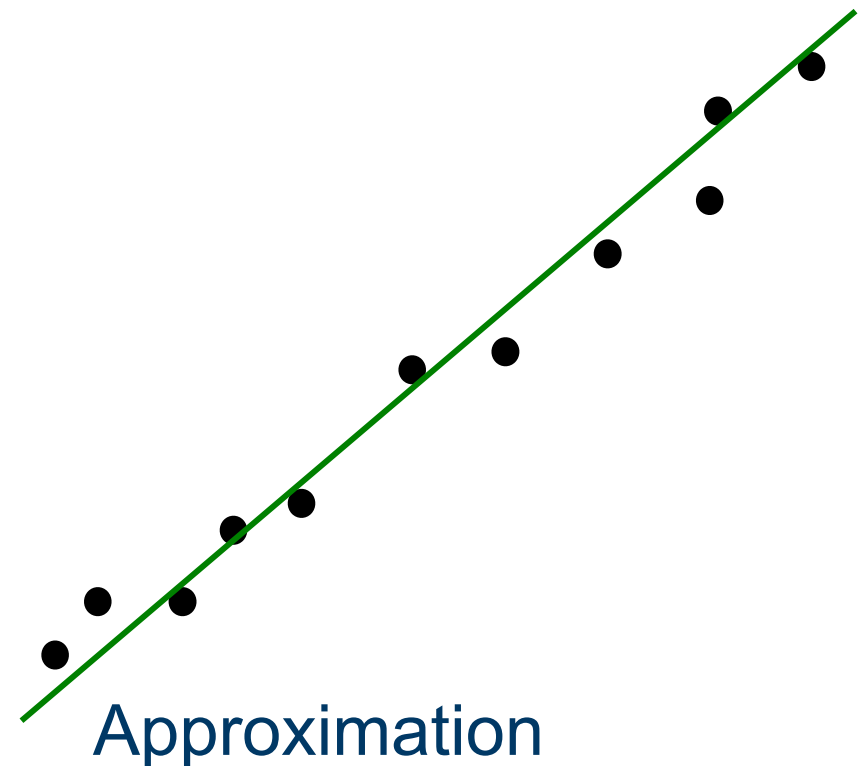
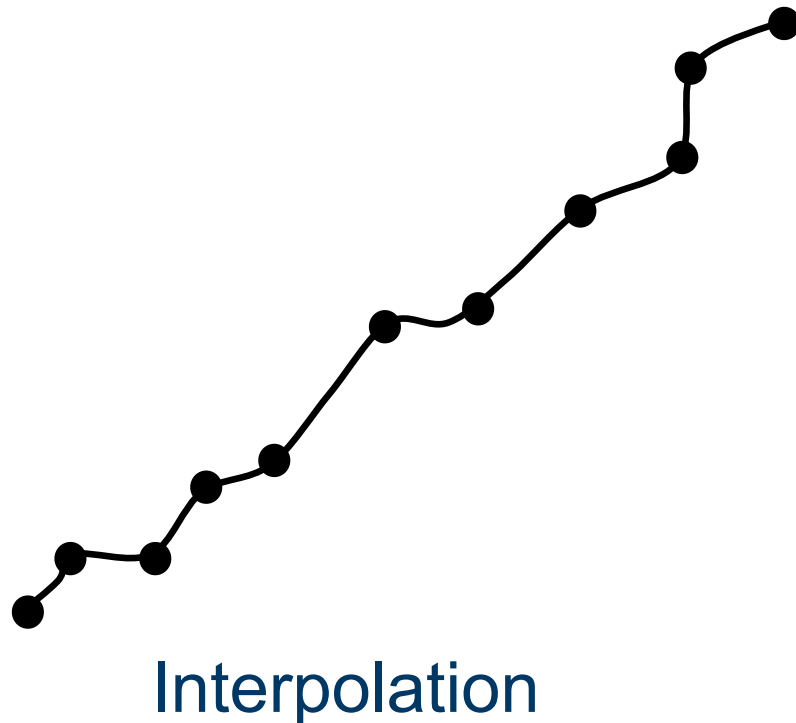


• Interpolation vs. Approximation

- Soll die rekonstruierte Funktion (Kurve, Fläche, ...) exakt durch die Punkte verlaufen, so sprechen wir von **Interpolation**. Das behandeln wir im Folgenden.
- Soll die Kurve (Fläche) nur näherungsweise durch die Punkte verlaufen, so sprechen wir von **Approximation**. Das ist verwandt mit den **Least-Squares-Problemen**, (Ausgleichsgerade, etc. s.o.)



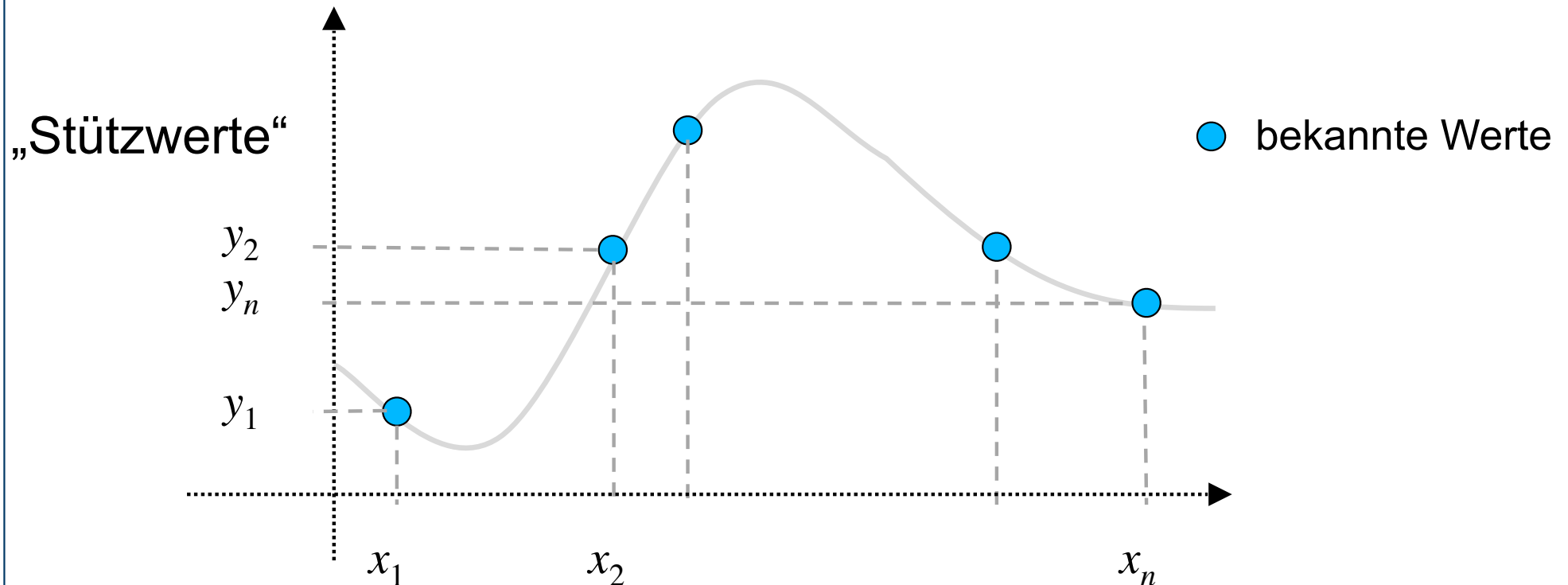
- Interpolation ist nicht in jedem Fall das genauere, bessere Verfahren
 - z.B. bei Messfehlern



- Verwandte Aufgabenstellungen:
 - Interpolation/Approximation komplizierter Funktionen durch einfachere (z.B. Approximation der exp-Funktion durch Polynome)
 - ★ „Komplizierte“ (transzendente) Funktionen werden intern mit Interpolation approximiert.
- Kontinuierliche Daten sind eigentlich Relationen, d.h. allgemeiner als „Funktionen“
 - Rekonstruktion von „Kurven“ anstelle von Funktionen
 - Aus Gründen der Einfachheit werden wir meistens trotzdem über Funktionen sprechen.

- Von einer unbekannten Funktion $f : \mathbb{R} \rightarrow \mathbb{R}$ kennt man nur die Werte an endlich vielen Punkten:

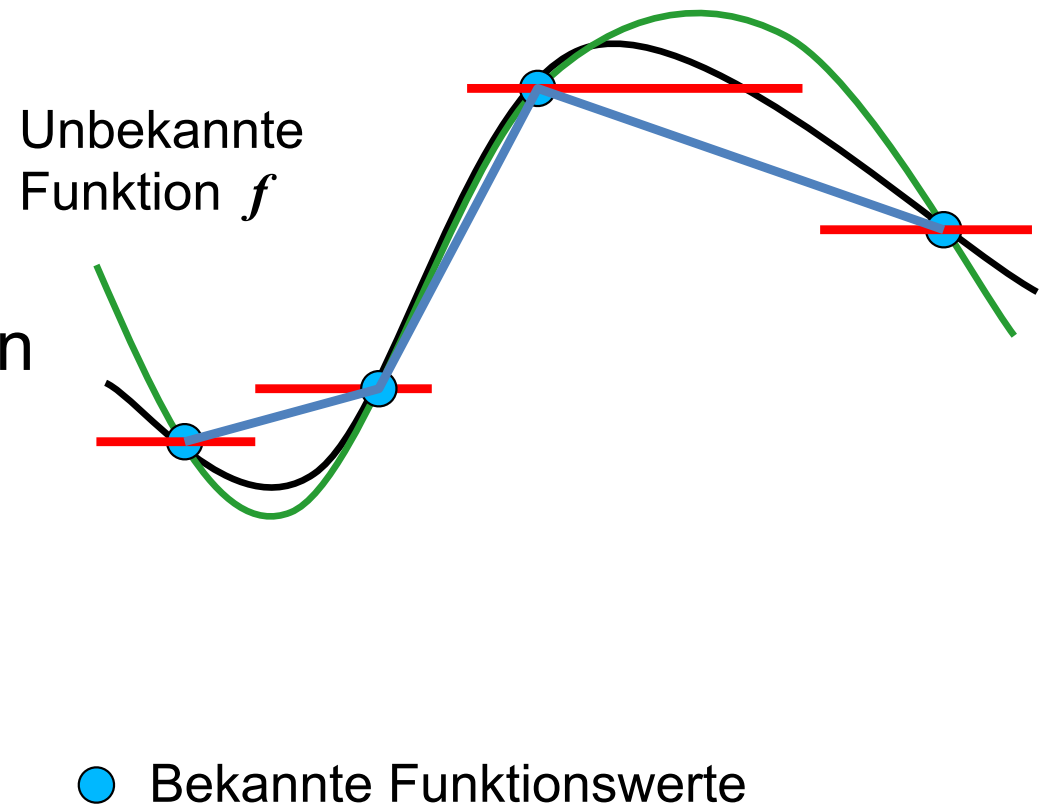
$$y_i = f(x_i) \quad \text{für } i = 1, 2, \dots, n$$

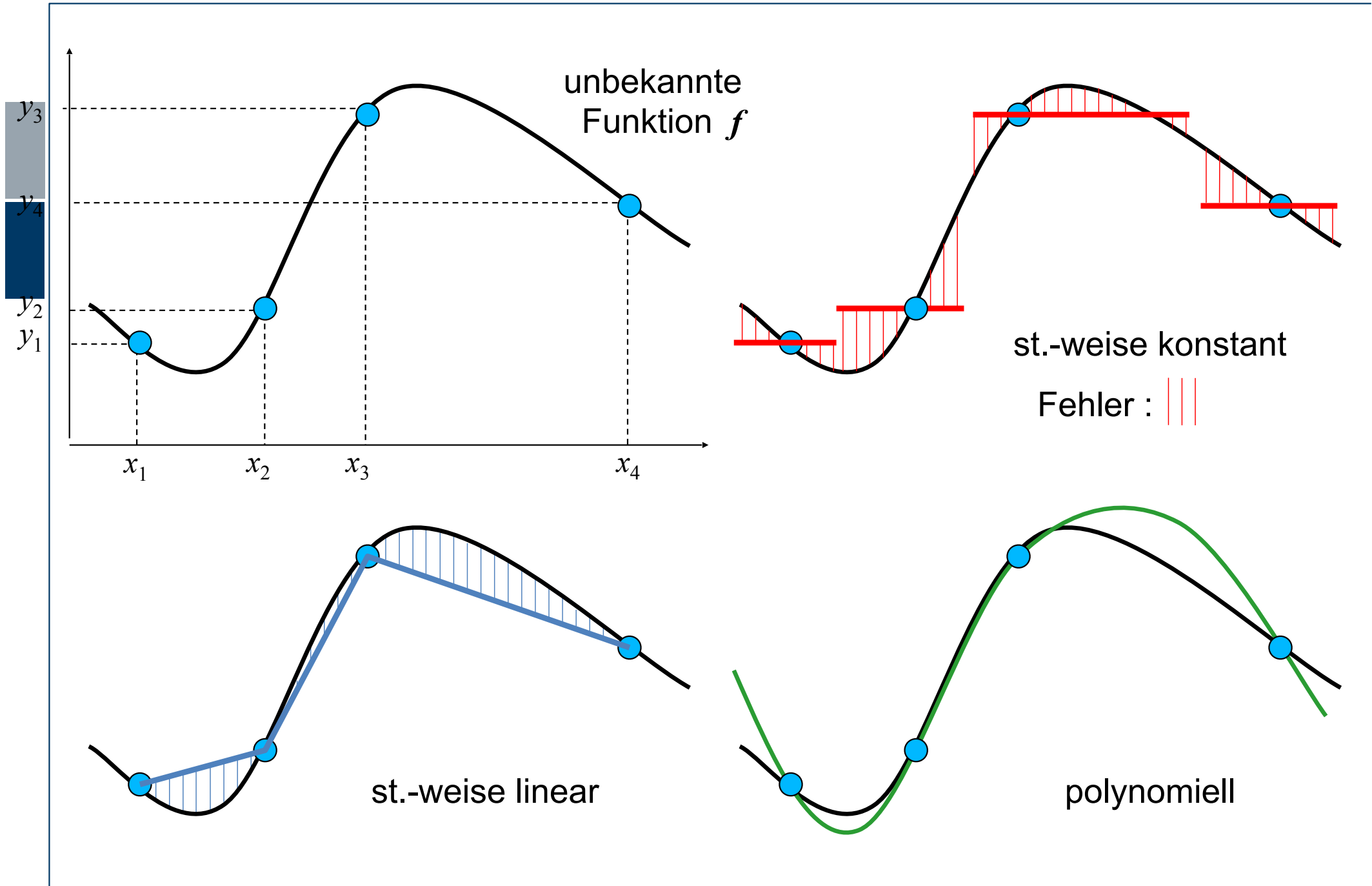


- Annahme: $x_1 < x_2 < \dots < x_{n-1} < x_n$ „Stützstellen“

- Aus der Anwendung kennen wir gewisse Grundeigenschaften von f , z.B.
 - f ist eine Gerade, oder ein Polynom
 - f ist stetig (oder glatt, d.h. differenzierbar).
- Wir wählen eine Klasse (Menge) K von Funktionen, in der wir f aus den endlich vielen Punkten näherungsweise rekonstruieren.
- Kriterien:
 - f muss in der Funktionsklasse K gut approximierbar sein,
 - die Funktionsklasse K muss auf dem Rechner gut (d.h. effizient) darstellbar und manipulierbar sein.
 - gut darstellbar sind z.B. Polynome
 - Polynome werden oft „gestückelt“, d.h. stückweise definiert verwendet

- Unbekannte Funktion
- Rekonstruktion durch stückweise konstante Funktion
- Rekonstruktion durch stückweise lineare Funktion
- Rekonstruktion durch (kubisches) Polynom





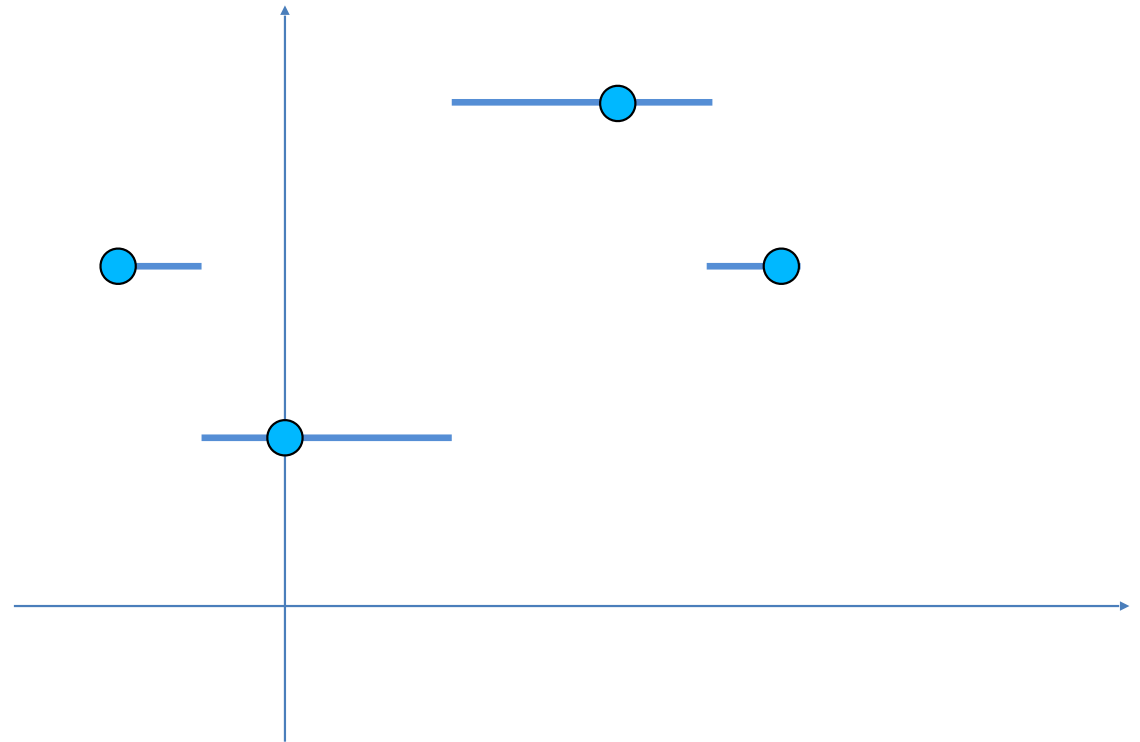
- Unterscheidung zwischen **lokalen** und **globalen** Verfahren
 - Lokal: interpolierter Wert $p(x)$ hängt nur von den „benachbarten“ Werten ab. Z.B.: $x_i < x < x_{i+1}$: nur y_i und y_{i+1} gehen ein.
 - Global: alle Werte y_i gehen ein
- Lokale Verfahren
 - Nearest neighbor (stückweise konstant)
 - Linear (stückweise linear)
 - Catmull-Rom (stückweise kubisches Polynom)
- Globale Verfahren
 - Polynom-Interpolation
 - B-Spline-Interpolation

parameteranzahl w_i

- Gegeben
 - **Stützstellen** $\{x_1, x_2, \dots, x_n\}$ und **Stützwerte** $\{y_1, y_2, \dots, y_n\}$ (Skalare oder Vektoren)
(Abtastwerte einer unbekannten, zu rekonstruierenden Funktion f)
 - Gesucht: kontinuierliche Rekonstruktion $p(x)$
(Näherung von $f(x)$)
- Stückweise konstante Interpolation:
 - Um den Wert an der Stelle x anzunähern, suche den *nearest neighbor* d.h. die nächst gelegene Stützstelle x_i
 - Interpolierter Wert ist: $p(x) = y_i$
- **Bezeichnung: nearest neighbor interpolation**

- Beispiel:

x_i	-1	0	2	3
y_i	2	1	3	2



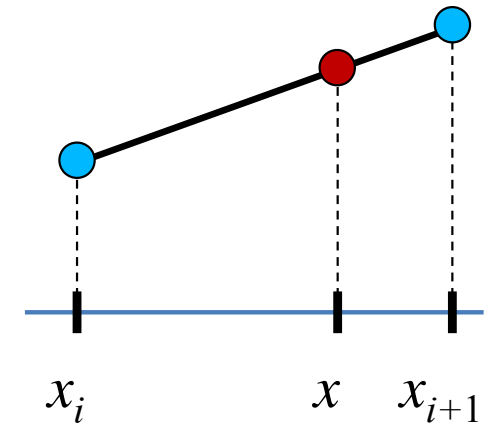
- Allgemeine Formel:

$$p(x) = \begin{cases} y_1 & \text{falls } x_1 \leq x \leq \frac{1}{2}(x_1 + x_2) \\ y_2 & \text{falls } \frac{1}{2}(x_1 + x_2) < x \leq \frac{1}{2}(x_2 + x_3) \\ \vdots & \vdots \\ y_n & \text{falls } \frac{1}{2}(x_{n-1} + x_n) < x \leq x_n \end{cases}$$

- Kein (Rechen-)Aufwand, nur Suchen der Nachbarn
 - äquidistant: $x_i = a + i h$ (h Schrittweite)
 einfache Suche $i = \text{int}((x-a)/h)$ $O(1)$ man kennt hier sofort den nearest neighbor
 Komplexität für die Suche
 - sind die Stützstellen schon geordnet:
 Aufwand für Suche $O(\log(n))$ wenn nicht äquidistant
 - wenn nicht, dann $O(n \cdot \log(n))$
- in vielen Fällen zu ungenau, z.B.
 bei bekanntermaßen glattem f
- Fehler bei glattem (d.h. differenzierbarem) f :

$$|p(x) - f(x)| \leq \frac{h}{2} \cdot \max_{x_1 \leq \xi \leq x_n} \{ |f'(\xi)| \} \quad \text{wobei} \quad h = \max_{1 \leq i \leq n} \{ x_{i+1} - x_i \}$$

- Das am weitesten verbreitete Interpolationsverfahren.
 - Warum sind Graphikkarten so leistungsfähig?
 - Lineare Interpolation in Hardware + höchst parallel!
- Gegeben
 - **Stützstellen** $\{x_1, x_2, \dots, x_n\}$ und **Stützwerte** $\{y_1, y_2, \dots, y_n\}$
(Abtastwerte einer unbekannten zu rekonstruierenden Funktion f)
 - Gesucht: kontinuierliche Rekonstruktion $p(x)$
(Näherung von $f(x)$)
- Stückweise lineare Interpolation:
 - Um den Wert an der Stelle x anzunähern, suche die nächst gelegene linke und rechte Stützstelle $x_i \leq x \leq x_{i+1}$
 - Interpoliere im Intervall $[x_i, x_{i+1}]$ linear



- Stückweise lineare Interpolation:

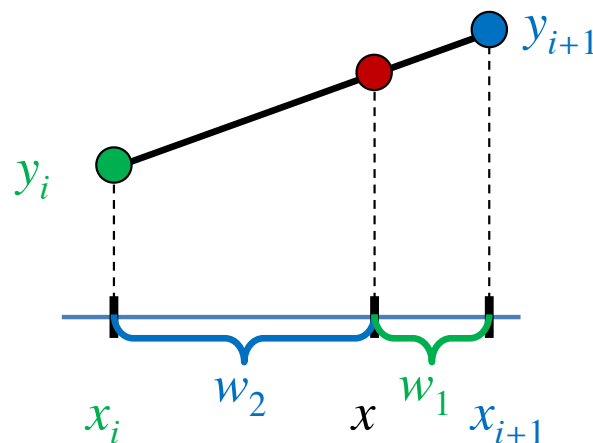
- Um den Wert an der Stelle x anzunähern, suche die nächst gelegen Stützstellen $x_i \leq x \leq x_{i+1}$

- Interpolierter Wert ist:

$$p(x) = m_i(x - x_i) + y_i \quad \text{mit} \quad m_i = \frac{y_{i+1} - y_i}{x_{i+1} - x_i} \quad \text{dy/dx}$$

- Alternativ: gewichtetes Mittel von y_i und y_{i+1} :

$$p(x) = w_1 y_i + w_2 y_{i+1} \quad \text{mit} \quad w_1 = \frac{x_{i+1} - x}{x_{i+1} - x_i} \quad \text{und} \quad w_2 = \frac{x - x_i}{x_{i+1} - x_i} = 1 - w_1$$



- Gegeben:
Stützstellen $\{x_1, x_2, \dots, x_n\}$ und -werte $\{y_1, y_2, \dots, y_n\}$
- Idee:
 1. Schätze an jeder Stelle die erste Ableitung (Steigung):
 $\rightarrow \{y_1', y_2', \dots, y_n'\}$
 2. Finde auf jedem Teilintervall $[x_i, x_{i+1}]$ das (eindeutige) kubische Polynom p_i welches in den beiden Endpunkten die Stützwerte und die geschätzten Ableitungen abstand nach rechts^2 interpoliert:

$$p(x) = a_0(x_{i+1} - x)^3 + a_1(x_{i+1} - x)^2(x - x_i)$$

$$+ a_2(x_{i+1} - x)(x - x_i)^2 + a_3(x - x_i)^3$$

$$a_0 = \frac{y_i}{(x_{i+1} - x_i)^3}, \quad a_1 = 3a_0 + \frac{y_i'}{(x_{i+1} - x_i)^2}, \quad \text{abstand links}^2$$

$$a_3 = \frac{y_{i+1}}{(x_{i+1} - x_i)^3}, \quad a_2 = 3a_3 - \frac{y_{i+1}'}{(x_{i+1} - x_i)^2}$$

From Wikipedia

- Ed Catmull ist ein amerikanischer Informatiker, der zu vielen wichtigen Entwicklungen in der Computergraphik beigetragen hat.
- Er ist vierfacher Oscar-Preisträger.
- Er studierte Physik und Computer Science an der University of Utah
- 1979 Arbeit für George Lucas bei Lucasfilm
- 1986 Steve Jobs übernimmt *Lucasfilm's digital division* und *Pixar*.
- 2020 Turing Award
- Catmull ist Chef-Entwickler, u.a das rendering system RenderMan
- Animationsfilme Filme *Toy Story*, *Finding Nemo*, ...
- zur Zeit Präsident von *Pixar* und *Disney Animation Studios*



https://de.wikipedia.org/wiki/Edwin_Catmull

Wie schätzt man die Ableitungen?

- Mittels Differenzenquotienten:

- Vorwärts-Differenz

$$f'(x) = \frac{f(x+h) - f(x)}{h} + O(h)$$

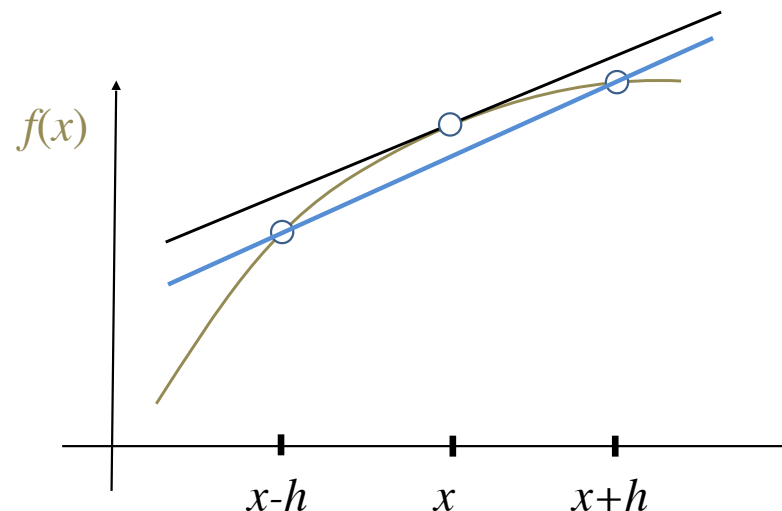
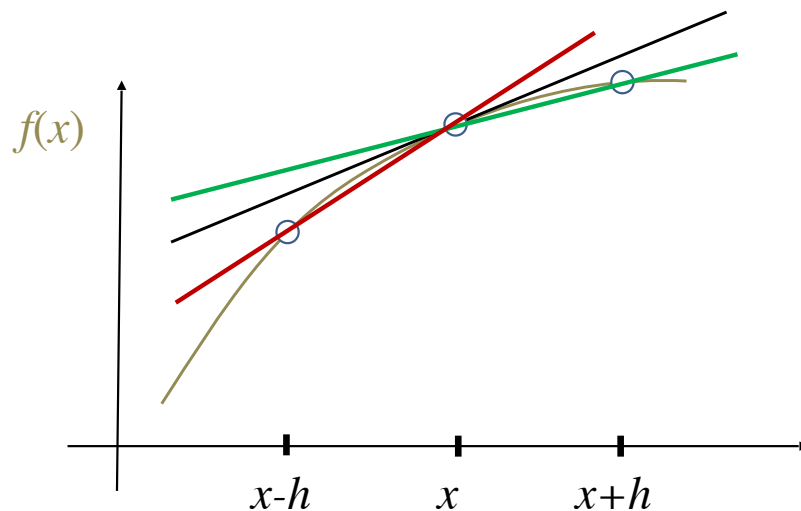
- Rückwärts-Differenz

$$f'(x) = \frac{f(x) - f(x-h)}{h} + O(h)$$

$h < 1$ führt zu h^2 bei

- Zentrale Differenz

$$f'(x) = \frac{f(x+h) - f(x-h)}{2h} + O(h^2)$$



Wie schätzt man die Ableitungen (allgemein)?

- Beispiel zu Differenzenquotienten

$$f(x) = \exp(x), \quad x_0 = 0.5, \quad f'(x_0) = 1.648721271 \dots$$

- Tabelle der absoluten Fehler für Schrittweiten $h=2^{-3}, 2^{-4}, \dots$

Schrittweite	2^{-3}	2^{-4}	2^{-5}	2^{-6}	2^{-7}	2^{-8}	2^{-9}	2^{-10}
Vorwärts-D.	.1075	.0526	.0260	$.129 \cdot 10^{-1}$	$.646 \cdot 10^{-2}$	$.322 \cdot 10^{-2}$	$.161 \cdot 10^{-2}$	$.804 \cdot 10^{-3}$
Rückwärts-D.	.0908	.0505	.0255	$.128 \cdot 10^{-1}$	$.642 \cdot 10^{-2}$	$.321 \cdot 10^{-2}$	$.161 \cdot 10^{-2}$	$.804 \cdot 10^{-3}$
Zentrale D.	.0043	.0011	.00026	$.671 \cdot 10^{-4}$	$.168 \cdot 10^{-4}$	$.411 \cdot 10^{-5}$	$.905 \cdot 10^{-6}$	$.137 \cdot 10^{-6}$

- Erkenntnis: Bei jeder Halbierung der Schrittweite:
 - Vorwärts- und Rückwärts-Differenz: halbiert sich der Fehler
 - Zentraler Differenz wird der Fehler jeweils geviertelt

faktor 1000 besser

Schätzen der Ableitung bei Catmull-Rom (1. Schritt):

- ~~Vorwärtsdifferenz~~ $y_i'_{fw} = \frac{y_{i+1} - y_i}{x_{i+1} - x_i}$
- ~~Rückwärtsdifferenz~~ $y_i'_{bw} = \frac{y_i - y_{i-1}}{x_i - x_{i-1}}$
- Zentrale Differenz (einfach) $y_i' = \frac{y_{i+1} - y_{i-1}}{x_{i+1} - x_{i-1}}$
- Zentrale Differenz (exakt):
(gewichtetes Mittel von Vorwärts- und Rückwärts-D.):

also steigungsdreieck zwischen elementen

$$y_i' = \frac{x_i - x_{i-1}}{x_{i+1} - x_{i-1}} \cdot y_i'_{fw} + \frac{x_{i+1} - x_i}{x_{i+1} - x_{i-1}} \cdot y_i'_{bw}$$

also korrektur durch distanz an den rändern der stützst

Im äquidistanten Fall sind die beiden zentralen D. identisch.

Zusammenfassung

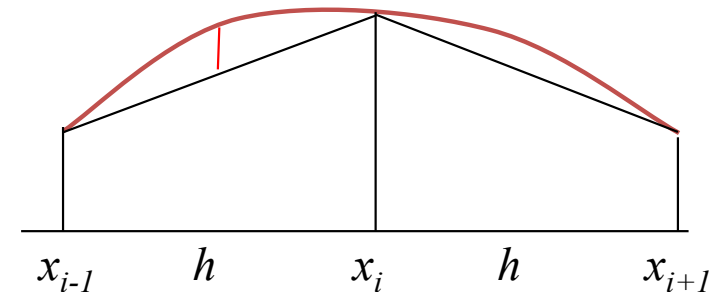
Gegeben: Stützstellen $\{x_1, x_2, \dots, x_n\}$ und -werte $\{y_1, y_2, \dots, y_n\}$

1. Schätze an inneren Stützstellen die Ableitung durch zentrale Differenz $\rightarrow \{y_2', y_3', \dots, y_{n-1}'\}$
2. Schätze die Ableitung in den beiden Endpunkten y_1', y_n'
 - ▶ zB Vorwärts- bzw. Rückwärts-Differenz
 - ▶ NB: es gibt bessere Verfahren
3. Finde auf jedem Teilintervall $[x_i, x_{i+1}]$ das (eindeutige) kubische Polynom p_i welches in den beiden Endpunkten die Stützwerte und die geschätzten Ableitungen interpoliert

Formeln siehe oben!

- Annahme äquidistante Stützstellen Schrittweite h und zu rekonstruierte Funktion f ist genügend differenzierbar
- Nearest Neighbor: $O(h)$ genauer: $\leq |f'(\xi)|/2 \cdot h$
(konstante Interpolation)
- Lineare Interpolation: $O(h^2)$ genauer: $\leq |f''(\xi)|/8 \cdot h^2$
- Catmull Rom: $O(h^3)$ genauer: $\leq |f'''(\xi)|/24 \cdot h^3$
- B-Spline: $O(h^4)$
- Auch im allgemeinen Fall gültig, wenn h = maximaler Abstand aufeinander folgender Stützstellen

- $|f(x) - p(x)| \leq h^2/8 \max_{\xi} \{ |f''(\xi)| \}$



- Anwendung:
 - Tabellierung von Funktionswerten
 - Look-up-tables
- Beispiel: Tabelle (look-up-table) für $\sin(x)$
 Gewünschte Genauigkeit: $\varepsilon_0 = 10^{-3}$, $\varepsilon_1 = 10^{-6}$
 Aus Fehlerabschätzung folgt für Schrittweite h :
 $h_0 \leq 9 \cdot 10^{-2}$ bzw. $h_1 \leq 2.8 \cdot 10^{-3}$

- Die Funktion

$$f(x) = \sin(\pi x), I = [0,1]$$

wird äquidistant abgetastet mit Schrittweite h

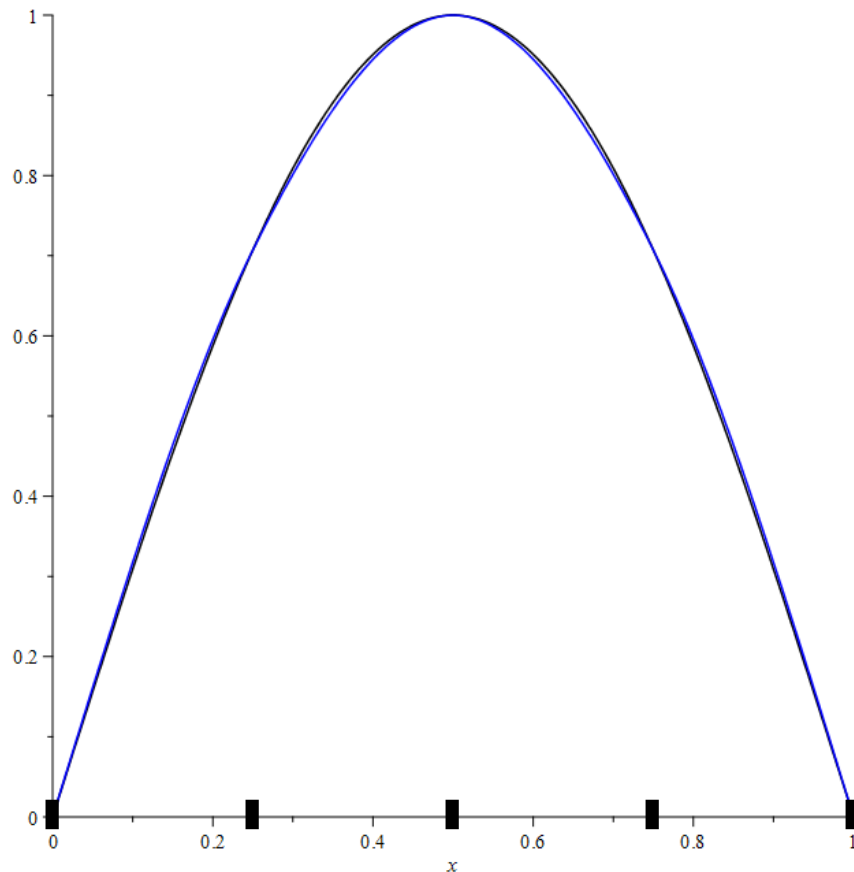
- Der Interpolationsfehler für linearen, Catmull-Rom- und B-Spline-Interpolanten

estimated order of convergence

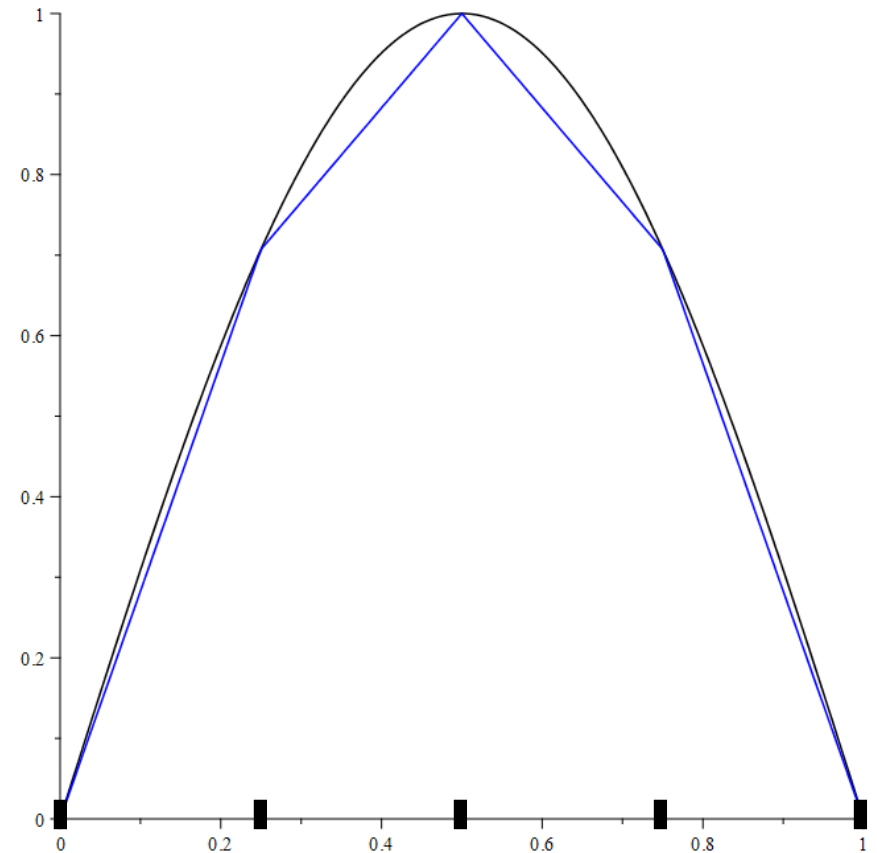
h	<i>linear</i>	<i>EOC</i>	<i>Catmull-R.</i>	<i>EOC</i>	<i>B-Spline</i>	<i>EOC</i>
	$O(h^2)$	4	$O(h^3)$	8	$O(h^4)$	16
0.25	0.0703		8.80E-03		1,06E-03	
0.125	0.0188	3.73	9.90E-04	8.88	6.31E-05	16.86
0.0625	4.79E-3	3.93	1.21E-04	8.13	3.89E-06	16.22
0.03125	1.20E-3	3.98	1.52E-05	8.03	2.42E-07	16.06
0.015625	3.01E-4	4.00	1.89E-06	8.01	1.51E-08	16.02

- Die Funktion $f(x) = \sin(\pi x)$, $I = [0,1]$
samples: $\{0.0, 0.25, 0.5, 0.75, 1.0\}$ ($h = 1/4$)

Catmull-Rom-Interpolant

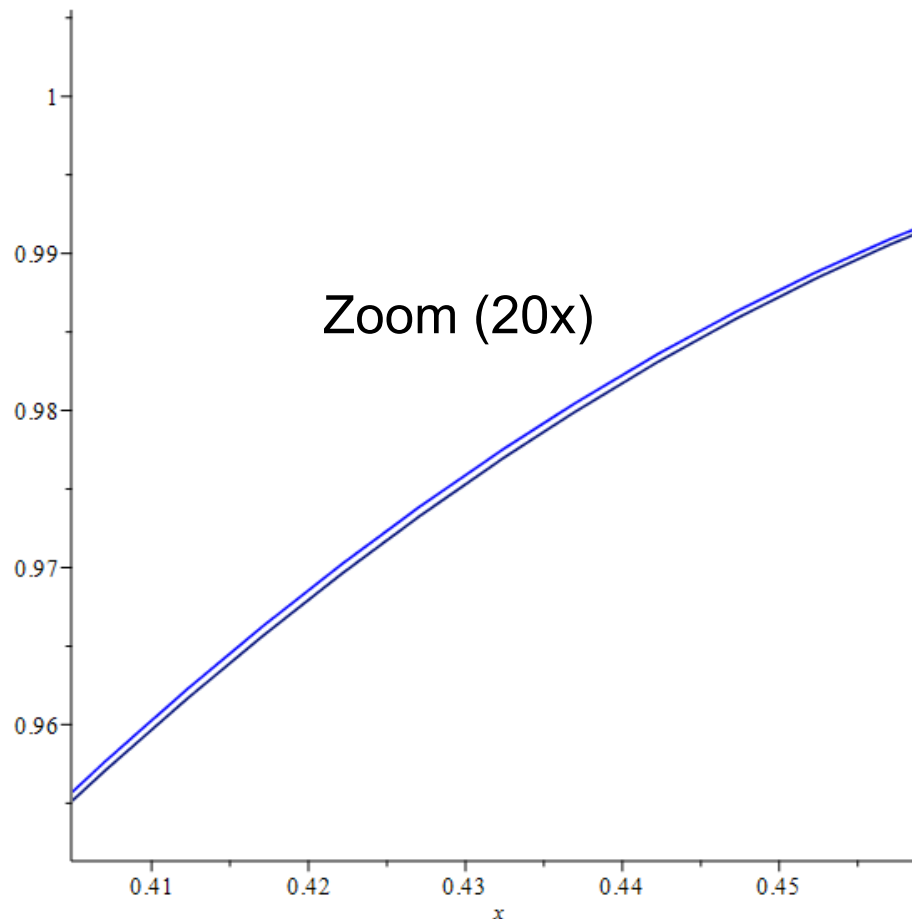


Linearer Interpolant

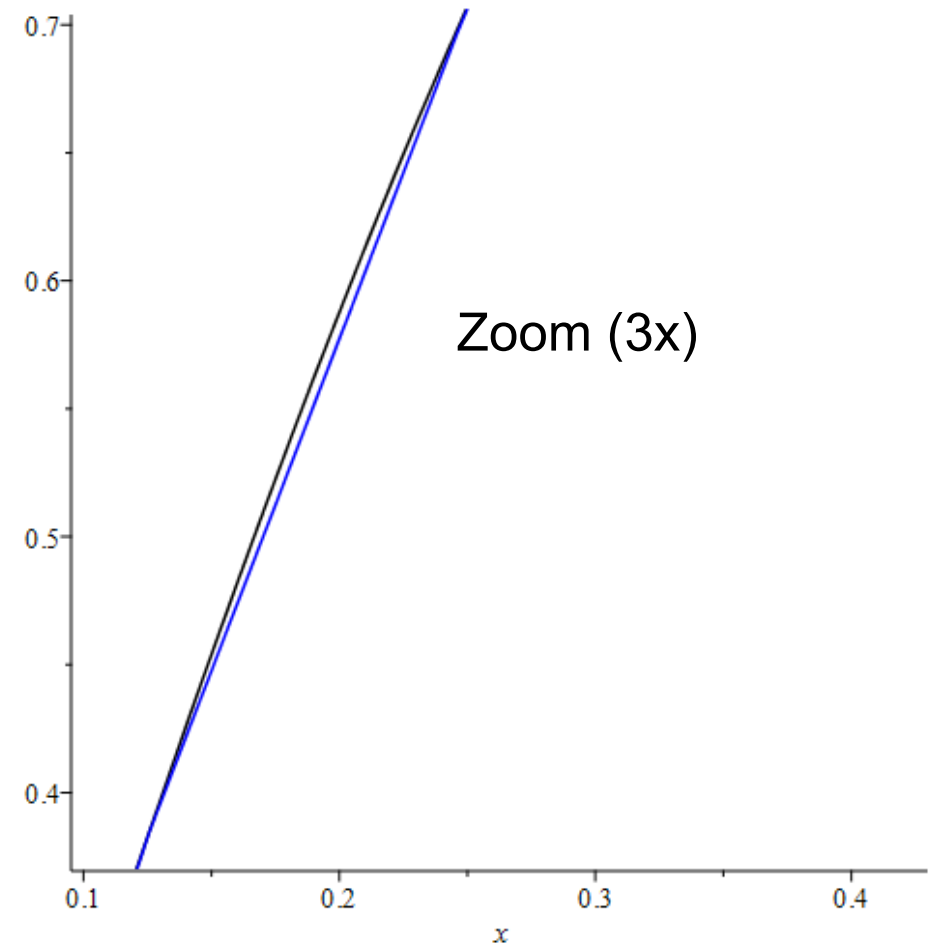


- Die Funktion $f(x) = \sin(\pi x)$, $I = [0,1]$
samples: $\{ 0.0, 0.125, 0.25, 0.375, 0.5, 0.625, 0.75, 0.875, 1.0 \}$ ($h = 1/8$)

Catmull-Rom-Interpolant



Linearer Interpolant



Die Funktion

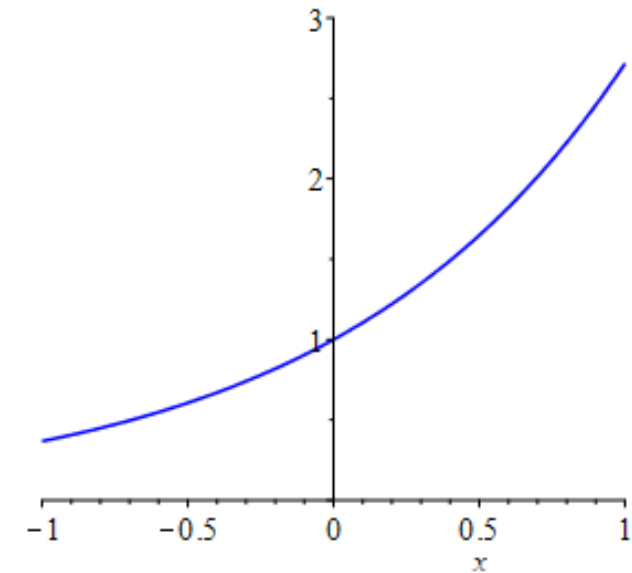
$$f(x) = \sin(\pi x), I = [0,1]$$

wird äquidistant abgetastet mit Schrittweite h

Interpolationsfehler
für linearen, Catmull-Rom- und B-Spline-Interpolanten

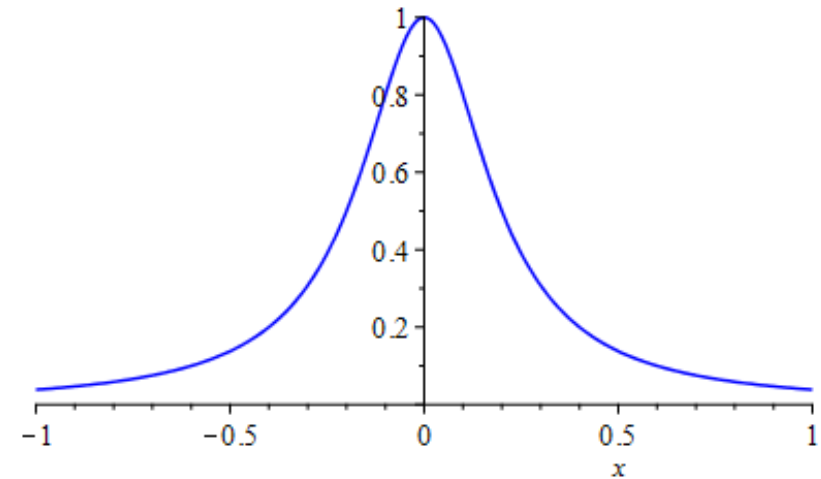
h	<i>linear</i>	<i>EOC</i>	<i>Catmull-R.</i>	<i>EOC</i>	<i>B-Spline</i>	<i>EOC</i>
	$O(h^2)$	4	$O(h^3)$	8	$O(h^4)$	16
2^{-2}	0.07		0.010		6,96E-05	
2^{-3}	1.9E-02	3.68	1.75E-03	5.7	4,21E-06	16,54
2^{-4}	4.8E-03	3.96	2.4E-04	7.3	2,60E-07	16,17
2^{-5}	1.2E-03	4.0	3.0E-05	8,0	1,75E-08	14,85
2^{-6}	3.0E-04	4.0	3.75E-06	8.0		

- $f(x) = \exp(x)$, $I = [-1, 1]$
- wird äquidistant abgetastet mit Schrittweite h
- Interpolationsfehler:
für linearen, Catmull-Rom-
und B-Spline-Interpolanten



h	<i>linear</i>	<i>EOC</i>	<i>Catmull-R.</i>	<i>EOC</i>	<i>B-Spline</i>	<i>EOC</i>
	$O(h^2)$	4	$O(h^3)$	8	$O(h^4)$	16
0.4			2,20E-03		1,67E-04	
0.2	1,24E-02		3,11E-04	7,07	1,09E-05	15,32
0.1	3,24E-03	3,83	4,12E-05	7,55	6,94E-07	15,71
0.05	8,30E-04	3,90	5,30E-06	7,77	4,40E-08	15,77
0.025	2,10E-04	3,95	6,74E-07	7,86		

- $f(x) = 1/(1+25x^2)$, $I = [-1, 1]$
wird äquidistant abgetastet
mit Schrittweite h
- Interpolationsfehler
für linearen, Catmull-Rom-
und B-Spline-Interpolanten



h	<i>linear</i>		<i>Catmull-R.</i>		<i>B-Spline</i>	
	$O(h^2)$	4	$O(h^3)$	8	$O(h^4)$	16
0.4	0.5		4.50E-01		0.422	
0.2	6.75E-02	7.41	1.82E-02	24.78	2.20E-02	19.29
0.1	4.18E-02	1.61	1.12E-02	1.63	3.18E-03	6.90
0.05	1.41E-02	2.98	1.74E-03	6.43	2.77E-04	11.49
0.025	3.80E-03	3.69	1.58E-04	11.02	1.61E-05	17.21

- Lokale Verfahren vs. globale Verfahren
- Lokale Verfahren
 - *nearest neighbor* : unstetig, $O(h)$
 - linear: stetig, $O(h^2)$
 - Catmull-Rom: glatt (diff.-bar, C^1), $O(h^3)$
 - kubische Splines: glatt (diff.-, bar, C^2), $O(h^4)$
- Schätzen von Ableitungen : vorwärts, rückwärts, zentral
- Rechenaufwand:
 - Aufwand für Suche ...
 - der Rest ist $O(1)$
- Globale Verfahren
 - Polynominterpolation
 - B-Spline-Interpolation

- Polynome vom Grad $n-1$ bilden einen n -dimensionalen Vektorraum.

$$\mathbb{P}_n = \text{span} \{ 1, x, x^2, \dots, x^{n-1} \} = \left\{ \sum_{i=0}^{n-1} c_i x^i \right\}$$

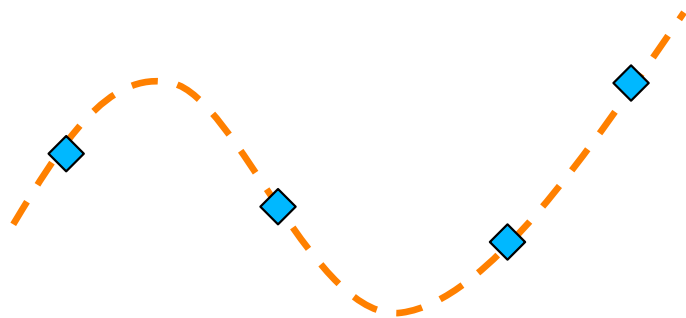
Taylorbasis
Monombasis

- Polynome werden in der Informatik sehr gerne verwendet, weil deren Auswertung für Computer einfach ist (→ Hornerschema s.u.)
 - im Gegensatz zu anderen mathematischen Funktionen.
- Polynome werden deshalb häufig zur Approximation anderer (komplizierterer) Funktionen eingesetzt (→ Taylorentwicklung)
- Die Taylorbasis (oder Monombasis) oben ist nur eine Möglichkeit den Polynomraum darzustellen - Varianten später.

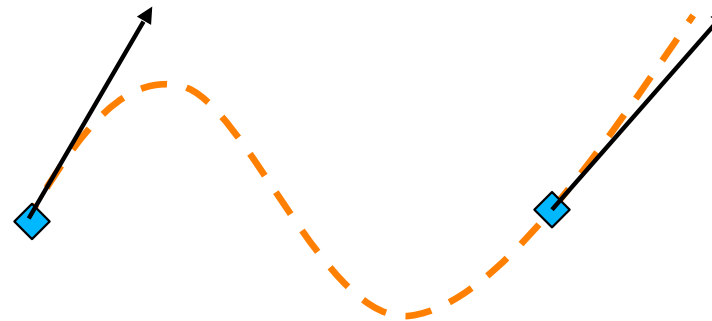
Interpolation: von der zu approximierenden Funktion werden nur Werte an (wenigen) Stützstellen verwendet, die Werte dazwischen werden durch ein „Polynominterpolation“ berechnet.

Werden nur die Punkte selbst verwendet, spricht man von „Lagrange-Interpolation“.

Werden zusätzliche auch Informationen über die Richtungen (Ableitung der Funktion) verwendet, dann spricht man von „Hermite-Interpolation“ bzw. von Interpolation mit doppelten Stützstellen.



Lagrange Interpolation



Hermite Interpolation

- Für die (Lagrange-)Polynominterpolanten sind gegeben:
 - **Stützstellen** $\{x_1, x_2, \dots, x_n\}$
 - **Stützwerte** $\{y_1, y_2, \dots, y_n\}$

- Ein Polynom $p(x) = \sum_{i=0}^{n-1} c_i x^i$ interpoliert diese Werte

sofern $p(x_1) = y_1, \dots, p(x_n) = y_n$

das heißt:

$$p(x_1) = \sum_{i=0}^{n-1} c_i x_1^i = y_1$$

$$p(x_2) = \sum_{i=0}^{n-1} c_i x_2^i = y_2$$

\vdots

$$p(x_n) = \sum_{i=0}^{n-1} c_i x_n^i = y_n$$

- $p(x) = c_0 + c_1 x + \dots + c_{n-1} x^{n-1}$ eingesetzt in die n Interpolationsbedingungen führt auf ein lineares Gleichungssystem mit n Gleichungen für die n unbekannten Koeffizienten c_i .

$$\underbrace{\begin{bmatrix} 1 & x_1 & x_1^2 & \cdots & x_1^{n-1} \\ 1 & x_2 & x_2^2 & \cdots & x_2^{n-1} \\ \vdots & \vdots & & \ddots & \vdots \\ 1 & x_n & x_n^2 & \cdots & x_n^{n-1} \end{bmatrix}}_A \underbrace{\begin{bmatrix} c_0 \\ c_1 \\ \vdots \\ c_{n-1} \end{bmatrix}}_c = \underbrace{\begin{bmatrix} y_1 \\ y_2 \\ \vdots \\ y_n \end{bmatrix}}_y$$

- A heißt Vandermonde-Matrix,
- Vandermonde-Determinante $\det(A) = \prod_{1 \leq j < k \leq n} (x_j - x_k) \neq 0$

- Die Matrix A ist die sogenannte Vandermonde-Matrix.
 - ▶ Sie ist quadratisch, voll besetzt, nicht singulär (sofern $x_i \neq x_j$)
 - aber
 - ▶ schon bei moderatem n (und äquidistanten Stützstellen) sehr schlecht konditioniert

n	$\kappa(A_{\text{Vandermonde}})$		
3	13.91		
4	154.46		
5	2592.89		
6	57688.70		
7	1597316.16		
8	52937735		
9	2043725290		
10	9.00778E10		
11	4.46282E12		
12	2.45502E14		
13	1.48460E16		
14	9.79006E17		
15	7.02701E19		

- Das System $A c = y$ ist eindeutig lösbar, da $\det(A) \neq 0$:
- Folgerung:
Zu n Stützstellen gibt es ein eindeutig bestimmtes Interpolationspolynom vom Grad $n-1$
- Man löse das Gleichungssystem $A c = y$ mit der Vandermondematrix A z.B. mit LR-Zerlegung (oder Gauss-Elimination)
 - Aufwand $O(n^3)$
 - Numerisch sehr problematisch (da schlecht konditioniert)
 - *Gibt's, denn da nichts besseres?*

Divide-et-Impera Ansatz

Rekursion

Wie könnte es gehen?

~~$p(x)$ interpoliert x_1, x_2, \dots, x_k~~

~~$q(x)$ interpoliert $x_{k+1}, x_{k+2}, \dots, x_{2k}$~~

~~$F(p, q)$ interpoliert $x_1, x_2, \dots, x_k, x_{k+1}, x_{k+2}, \dots, x_{2k}$~~

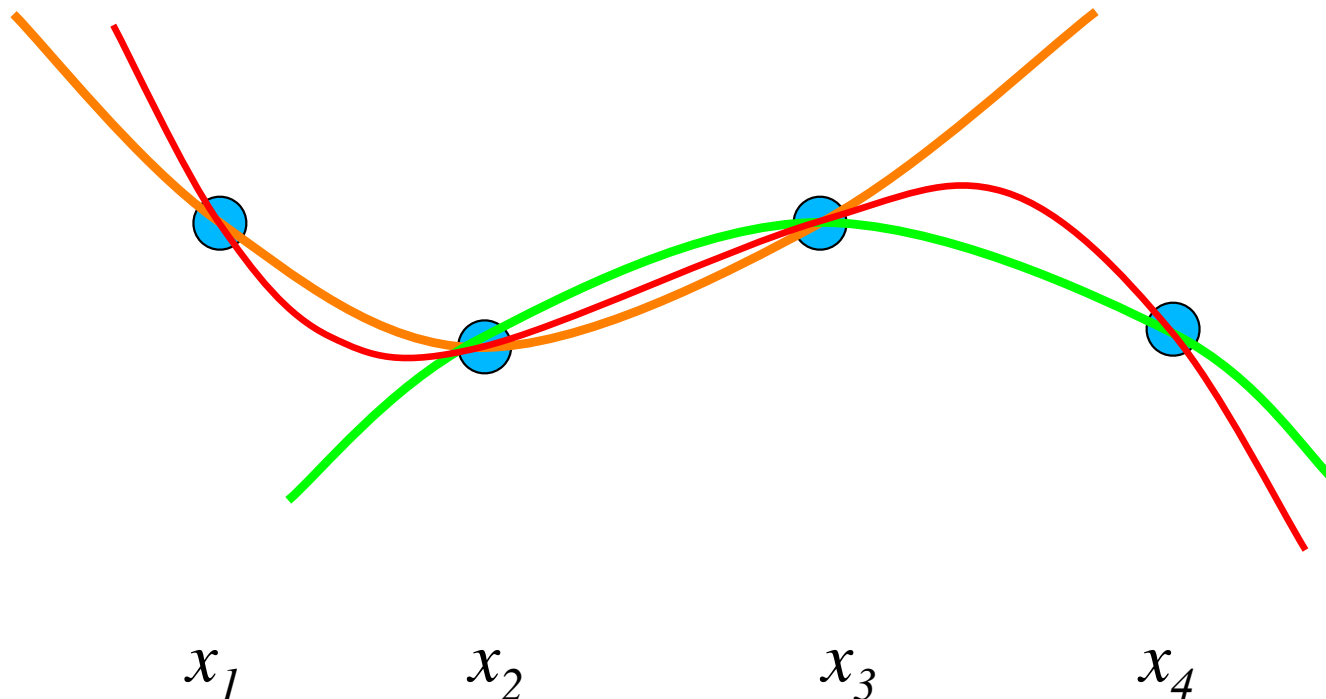
So geht es leider nicht!
(Es wäre zu schön gewesen)

Ansatz

$p_{1,k-1}(x)$ interpoliert an x_1, x_2, \dots, x_k (Polynomgrad $k-1$)

$p_{2,k-1}(x)$ interpoliert an x_2, x_3, \dots, x_{k+1} (Polynomgrad $k-1$)

Brechne daraus $p_{1,k}$ das an x_1, x_2, \dots, x_{k+1} interpoliert (Polynomgrad k)



$$p_{i,k}(x) = p_{i,k-1}(x) \frac{x_{i+k} - x}{x_{i+k} - x_i} + p_{i+1,k-1}(x) \frac{x - x_i}{x_{i+k} - x_i} \quad (*)$$

- Warum funktioniert das:
 - Ist $x=x_i$, dann „übernimmt“ das linke Polynom.
 - Ist $x=x_{i+k}$, dann „übernimmt“ das rechte Polynom.
 - Bei den Stützstellen dazwischen „kooperieren“ beide Polynome.
 - Die Sortierung der Stützstellen ist nicht relevant.
- Die Formel kann man als Rekursion für (reelle/komplexe) Zahlen, also die Werte der Polynome an der Stelle x lesen
- Es ist aber genau so gut eine Formel für Funktionen:
 - Eine Funktion, die aus zwei Funktionen eine dritte berechnet.
- Terminierung der Rekursion:
 - Die Interpolation einer einzigen Stützstelle (x_i, y_i) liefern trivialerweise die konstanten Polynome $p_{i,0}(x) = y_i$

$$p_{i,k}(x) = p_{i,k-1}(x) \frac{x_{i+k} - x}{x_{i+k} - x_i} + p_{i+1,k-1}(x) \frac{x - x_i}{x_{i+k} - x_i} \quad (*)$$

Wenn man einen Datentyp „Polynom“ (`class Polynom { ... }` in Python/C++) hat, kann man diese Formel zur Konstruktion des interpolierenden Polynoms verwenden.

Besonders attraktiv wäre dies natürlich in funktionalen Programmierprachen (wie Lisp, Maple, ...).

Am einfachsten und effizientesten geht es, wenn man eine geeignete Datenstruktur (mathematisch gesehen: Polynombasis) verwendet, nämlich die Polynomdarstellung nach Newton. Dann kommt man auf die Newtonsche Interpolationsformel (siehe heute am Ende der Vorlesung).

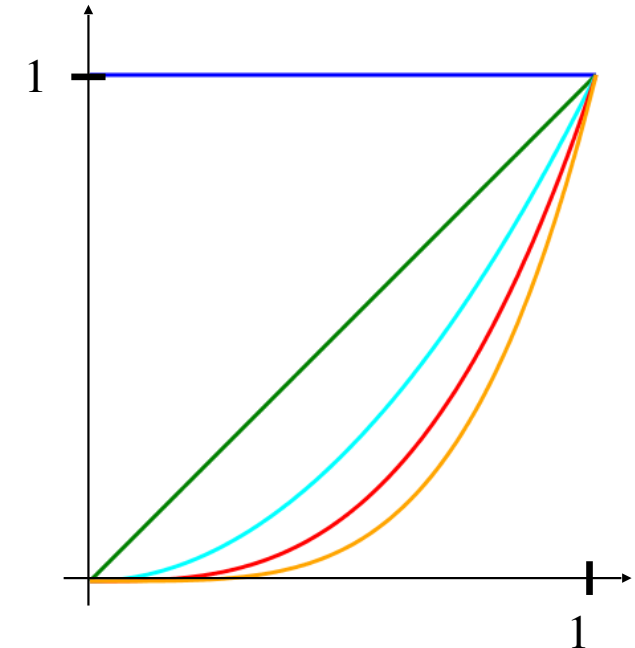
Aber zunächst ist die Rekursionsformel noch unbrauchbar:

Der Aufwand explodiert, wenn man die Rekursionsformel naiv verwendet: Bei Polynomgrad n sind $O(2^n)$ Aufrufe erforderlich! Das ist viel zu teuer.

Nur wenn man nutzt, dass die Rekursion immer wieder die gleichen Polynome berechnet, kann man ein effizienten Algorithmus erhalten.

Das führt auf das Aitken-Neville-Dreiecksschema und die Newtoninterpolation: siehe unten.

- Bisher : Darstellung in der
 - Taylor-Basis bzw. Monom-Basis $\{1, x, x^2, x^3, \dots, x^{n-1}\}$
 - zu speichern: Die n Koeffizienten
 - Effiziente Auswertung mit dem Horner-Schema (s.u.)

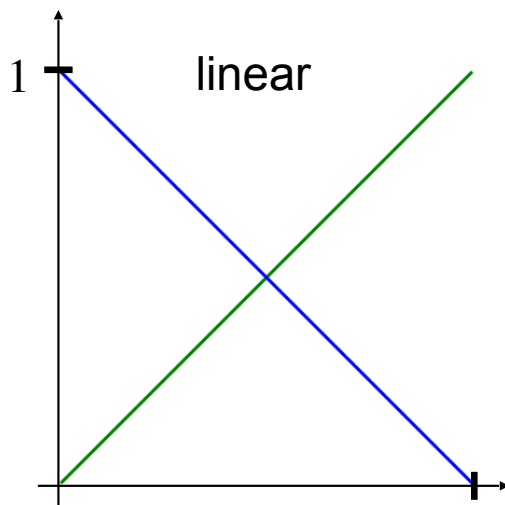


- **Alternativen:**
 1. Bernstein-Polynome
 2. Lagrange-Polynome
 3. Newton-Polynome

- bilden jeweils eine Basis von \mathbb{P}_n

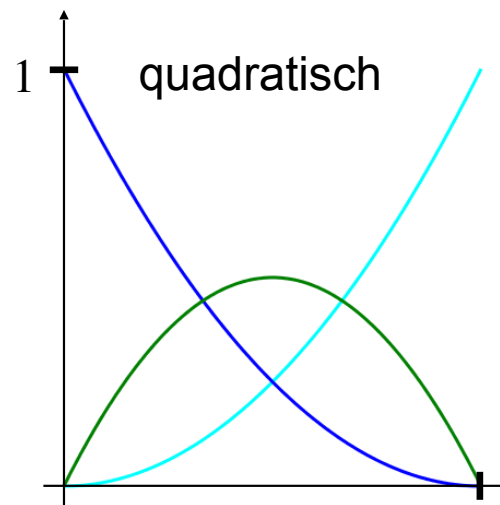
• Alternative 1: Basis aus **Bernstein**-Polynomen

$$B_i^{n-1}(x) = \binom{n-1}{i} (1-x)^{n-1-i} x^i \quad \mathbb{P}_{n-1} = \text{span} \{ B_0^{n-1}(x), B_1^{n-1}(x), \dots, B_{n-1}^{n-1}(x) \}$$



$$B_0^1(x) = 1 - x$$

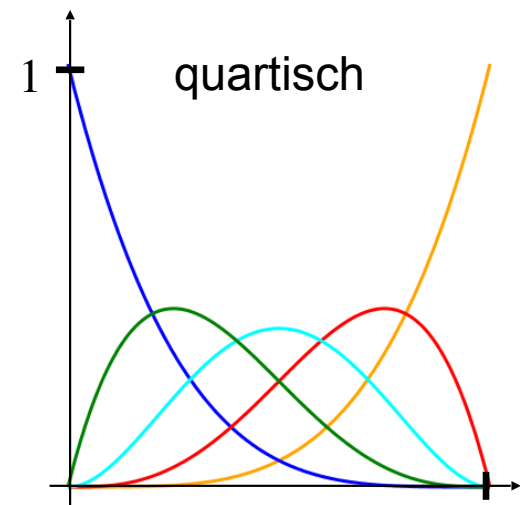
$$B_1^1(x) = x$$



$$B_0^2(x) = (1-x)^2$$

$$B_1^2(x) = 2(1-x)x$$

$$B_2^2(x) = x^2$$



$$B_0^4(x) = (1-x)^4$$

$$B_1^4(x) = 4(1-x)^3x$$

$$B_2^4(x) = 6(1-x)^2x^2$$

$$B_3^4(x) = 4(1-x)x^3$$

$$B_4^4(x) = x^4$$

► **Eigenschaften:**

★ $B_0^n(x) \geq 0$ falls $0 < x < 1$

★ $\sum_{i=0}^n B_i^n(x) = 1$

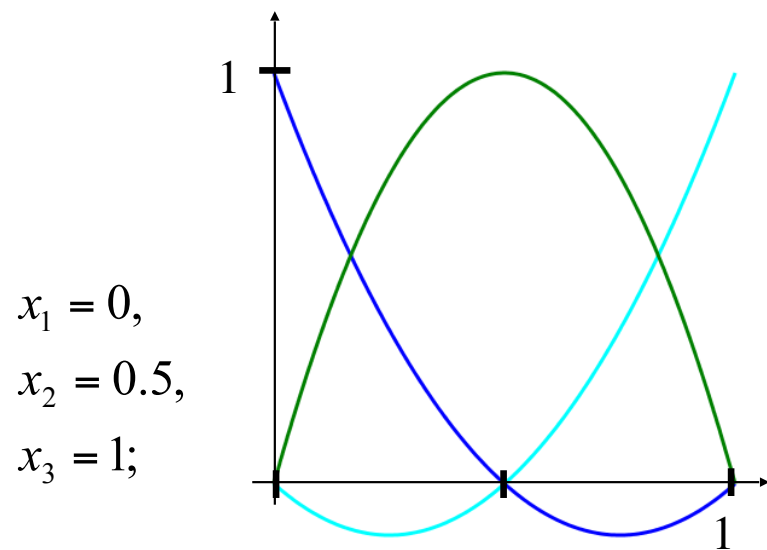
- Alternative 1: Basis aus **Bernstein**-Polynomen

$$B_i^{n-1}(x) = \binom{n-1}{i} (1-x)^{n-1-i} x^i \quad \mathbb{P}_{n-1} = \text{span} \{ B_0^{n-1}(x), B_1^{n-1}(x), \dots, B_{n-1}^{n-1}(x) \}$$

- Basis für Polynome vom Grad $n-1$
- Sehr beliebt in Graphik beim geometrischen Modellieren
→ Deshalb kommen wir später darauf noch mal zurück
- Für Polynominterpolation eher **nicht** geeignet

► Alternative 2: Basis aus **Lagrange**-Polynomen zu gegebenen Stützstellen $\{x_1, x_2, \dots, x_n\}$

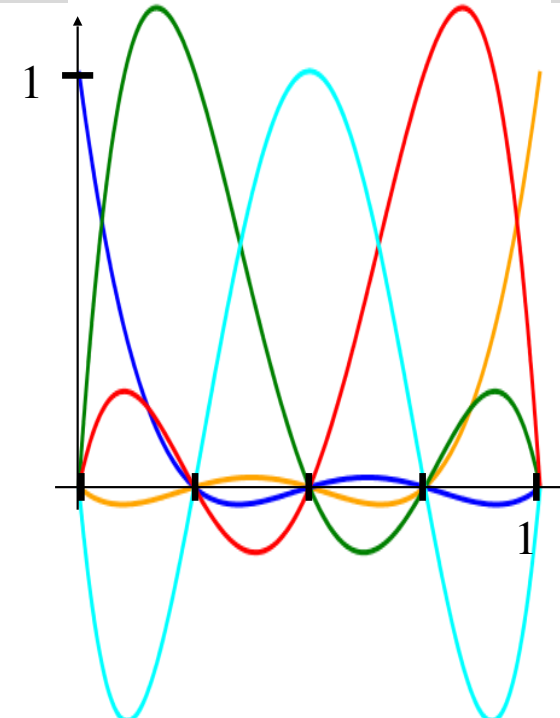
$$L_i(x) = \frac{(x - x_1) \cdot \dots \cdot (x - x_{i-1}) \cdot (x - x_{i+1}) \cdot \dots \cdot (x - x_n)}{(x_i - x_1) \cdot \dots \cdot (x_i - x_{i-1}) \cdot (x_i - x_{i+1}) \cdot \dots \cdot (x_i - x_n)} \quad (i = 1..n)$$



$$L_1(x) = \frac{(x - 0.5)(x - 1)}{(0 - 0.5)(0 - 1)} = 2x^2 - 3x + 1$$

$$L_2(x) = \frac{(x - 0)(x - 1)}{(0.5 - 0)(0.5 - 1)} = -4x^2 + 4x$$

$$L_3(x) = \frac{(x - 0)(x - 0.5)}{(1 - 0)(1 - 0.5)} = 2x^2 - x$$



$$\begin{aligned}
 x_1 &= 0, \\
 x_2 &= 0.25, \\
 x_3 &= 0.5, \\
 x_4 &= 0.75, \\
 x_5 &= 1;
 \end{aligned}$$

$$L_i(x_j) = \begin{cases} 1 & \text{falls } j = i \\ 0 & \text{sonst} \end{cases}$$

- ▶ Alternative 2: Basis aus **Lagrange**-Polynomen
zu gegebenen Stützstellen $\{x_1, x_2, \dots, x_n\}$

$$L_i(x) = \frac{(x - x_1) \cdot \dots \cdot (x - x_{i-1}) \cdot (x - x_{i+1}) \cdot \dots \cdot (x - x_n)}{(x_i - x_1) \cdot \dots \cdot (x_i - x_{i-1}) \cdot (x_i - x_{i+1}) \cdot \dots \cdot (x_i - x_n)} \quad (i = 1..n)$$

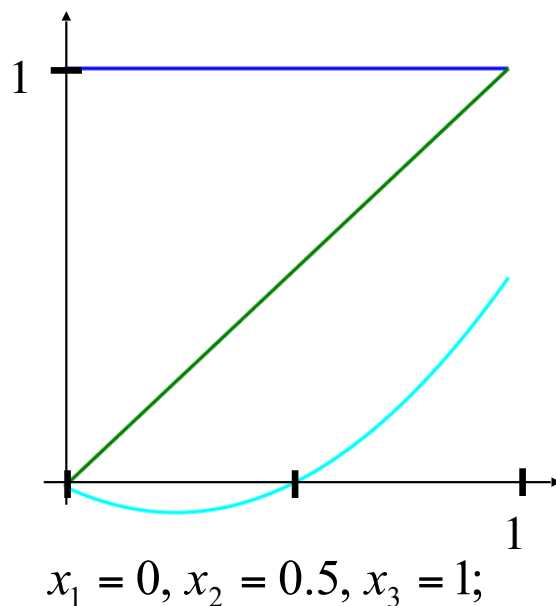
- Eigenschaften der Lagrange-Polynome:
 - Die L_i sind linear unabhängig und bilden eine Basis von \mathbb{P}_n
 - $L_i(x_j) = \delta_{ik}$ (= Kroneckersymbol)
 - \rightarrow das (eindeutige) Interpolationspolynom ist gegeben durch

$$p(x) = \sum_{i=1}^n y_i L_i(x)$$

- Hauptanwendung der Lagrange-Polynome sind **theoretische Überlegungen** (z.B. zur Entwicklung von speziellen Algorithmen). Für die algorithmische **Berechnung** des Interpolationspolynoms selbst sind sie eher schlecht geeignet!

► Alternative 3: Basis aus **Newton**-Polynomen zu gegebenen Stützstellen $\{x_1, x_2, \dots, x_n\}$

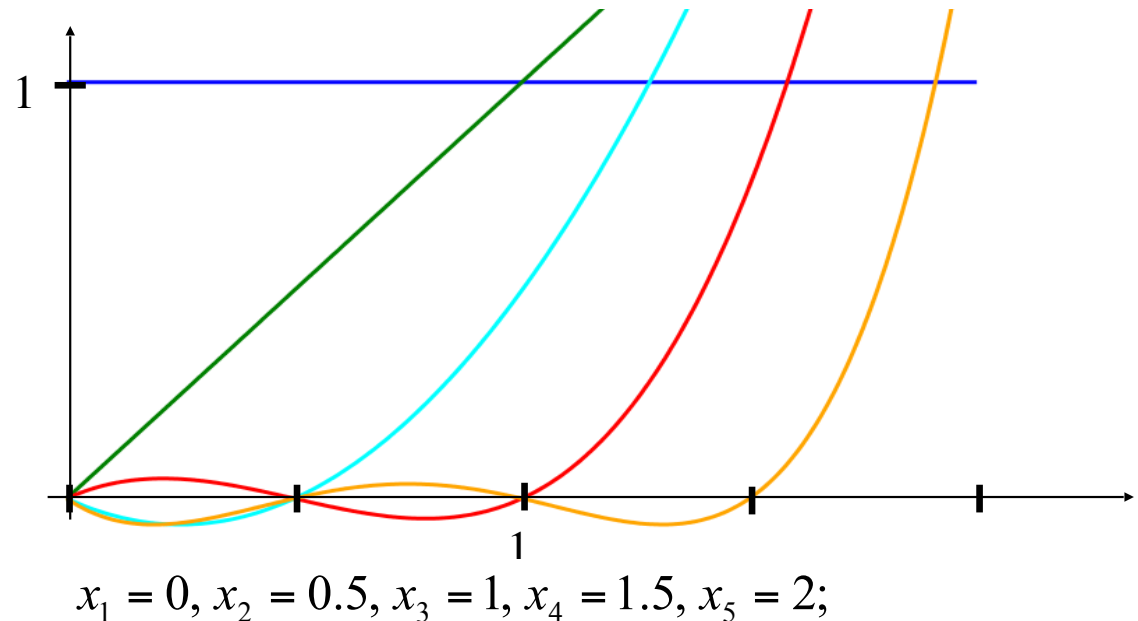
$$N_i(x) = (x - x_1) \cdot (x - x_2) \cdot \dots \cdot (x - x_{i-1}) \quad (i = 1..n)$$



$$N_1(x) = 1,$$

$$N_2(x) = (x - 0) = x,$$

$$N_3(x) = (x - 0)(x - 0.5) = x^2 - 0.5x;$$



...

$$N_4(x) = (x - 0)(x - 0.5)(x - 1),$$

$$N_5(x) = (x - 0)(x - 0.5)(x - 1)(x - 1.5);$$

- Alternative 3: Basis aus **Newton**-Polynomen zu gegebenen Stützstellen $\{x_1, x_2, \dots, x_n\}$

$$N_i(x) = (x - x_1) \cdot (x - x_2) \cdot \dots \cdot (x - x_{i-1}) \quad (i = 1..n)$$

Verwende die Basis $\{N_1(x), N_2(x), \dots, N_n(x)\}$ zur Lösung der Interpolationsaufgabe, Ansatz:

$$p(x) = a_0 + a_1(x - x_1) + a_2(x - x_1)(x - x_2) + \dots + a_{n-1}(x - x_1)(x - x_2) \dots (x - x_{n-1})$$

- Mit dieser Basis läßt sich das Interpolationsproblem effizient und stabil lösen
→ Algorithmus von **Aitken-Neville**
- Weiterer Vorteil:
In dieser Basis ist das Interpolationspolynom effizient für alle x (mit einem Horner-artigen Schema) auswertbar.

- Alternative 3: Basis aus **Newton**-Polynomen zu gegebenen Stützstellen $\{x_1, x_2, \dots, x_n\}$

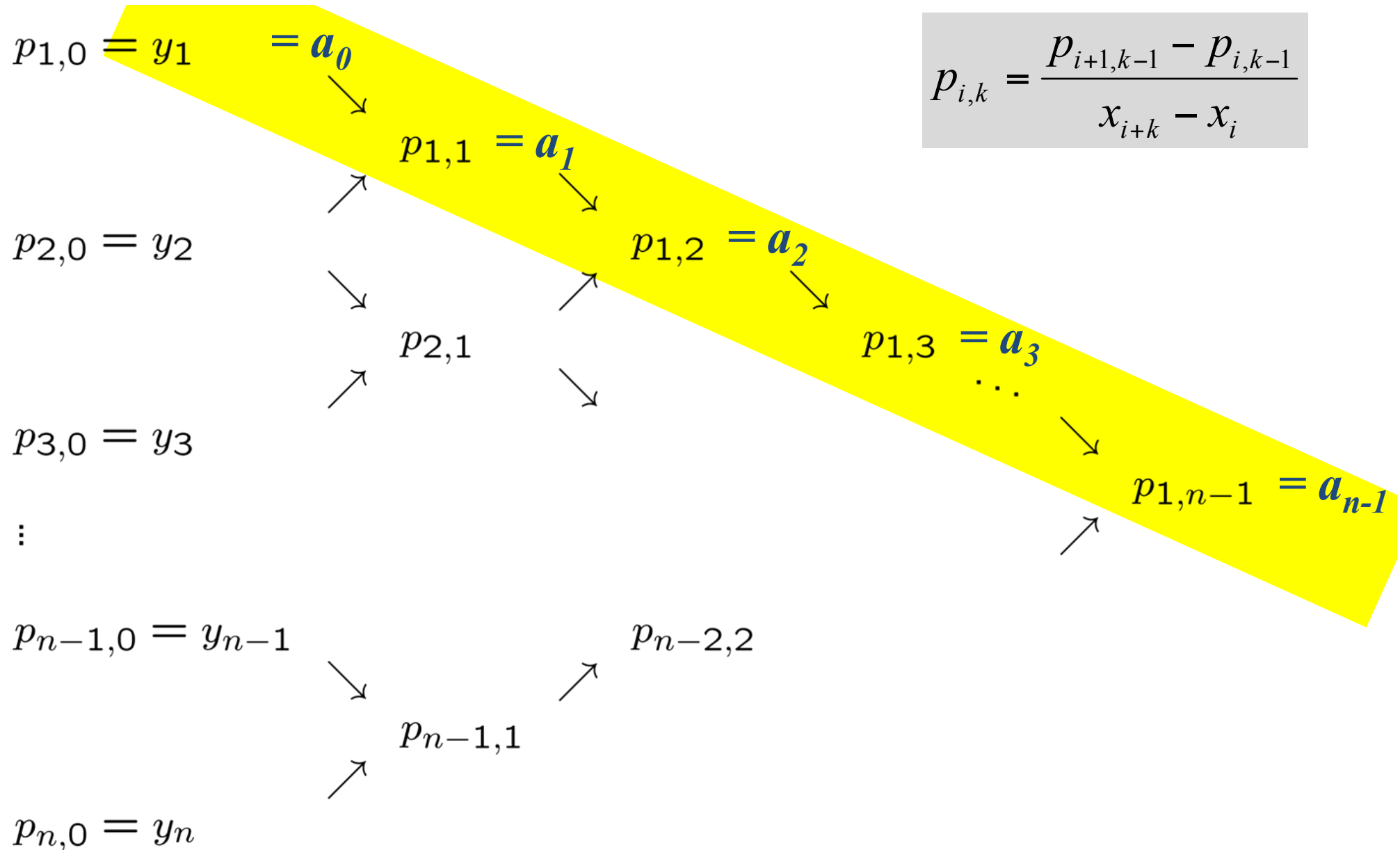
$$p(x) = a_0 + a_1(x-x_1) + a_2(x-x_1)(x-x_2) + \dots + a_{n-1}(x-x_1)(x-x_2)\dots(x-x_{n-1})$$

- Die Interpolationsbedingungen $p(x_j) = y_j$ führen auf ein Gleichungssystem mit unterer Dreiecksmatrix:

$$\begin{pmatrix} 1 & 0 & 0 & \dots & 0 \\ 1 & x_2 - x_1 & 0 & & 0 \\ 1 & x_3 - x_1 & (x_3 - x_1)(x_3 - x_2) & \ddots & \vdots \\ \vdots & \vdots & \vdots & \ddots & 0 \\ 1 & x_n - x_1 & (x_n - x_1)(x_n - x_2) & & N_n(x_n) \end{pmatrix} \begin{pmatrix} a_0 \\ a_1 \\ a_2 \\ \vdots \\ a_{n-1} \end{pmatrix} = \begin{pmatrix} y_1 \\ y_2 \\ y_3 \\ \vdots \\ y_n \end{pmatrix}$$

- Der Algorithmus von **Aitken-Neville**

$$p_{i,k} = \frac{p_{i+1,k-1} - p_{i,k-1}}{x_{i+k} - x_i}$$



- Der Algorithmus von Aitken-Neville

$$p(x) = a_0 + a_1(x-x_1) + a_2(x-x_1)(x-x_2) + \dots + a_{n-1}(x-x_1)(x-x_2)\dots(x-x_{n-1})$$

- Pseudo-Code zur Berechnung der Koeffizienten a_i :

```
# Initialisierung:
for i=1..n
    pi,0 = yi
# Spaltenweises Vorgehen:
for k=1..n-1
    # Durchlaufen der Spalte:
    for i=1..n-k-1
        pi,k = (pi+1,k-1 - pi,k-1) / (xi+k - xi)
# Rückgabe der Ergebnisse:

ai = p1,i ; (i = 0..n-1)
```

- Aufwand: $O(n^2)$

- Effiziente Auswertung des Newton-Polynoms mit Horner-artigem Schema:
- Klassisches Hornerschema für

$$p(x) = a_0 + a_1x + \dots + a_{n-1}x^{n-1} = (\dots(a_{n-1}x + a_{n-2})x + \dots + a_1)x + a_0$$

► PseudoCode :

```
sum = a[n-1]
for i=n-2..0
    sum = sum*x+a[i]
```

- Modifiziertes Hornerschema

$$\begin{aligned} p(x) &= a_0 + a_1(x - x_1) + \dots + a_{n-1}(x - x_1) \cdot \dots \cdot (x - x_{n-1}) = \\ &= (\dots(a_{n-1}(x - x_{n-1}) + a_{n-2})(x - x_{n-2}) + \dots + a_1)(x - x_1) + a_0 \end{aligned}$$

► PseudoCode

```
sum = a[n-1]
for i=n-2..0
    sum = sum*(x-x[i+1])+a[i]
```

Konditionszahl
(bzgl. Euklidischer
Norm) für
**Vandermonde-
Matrix** und
**„Newton“-
Matrix** für n
äquidistante
Stützstellen: $\{0,1,2,$
 $\dots,n-1\}$

n	$\kappa(M_{\text{Vandermonde}})$	$\kappa(M_{\text{Newton}})$	$\kappa(M_N) / \kappa(M_V)$
3	13.91	6.18	0.444
4	154.46	18.69	0.121
5	2592.89	74.17	0.029
6	57688.70	368.83	0.639E-2
7	1597316.16	2206.21	0.138E-2
8	52937735	15415.01	0.291E-3
9	2043725290	123173.74	0.603E-4
10	0.900778E11	1107665.81	0.123E-4
11	0.446282E13	11070260.73	0.123E-4
12	0.245502E15	121720944.9	0.496E-6
13	0.148460E17	1460178399	0.984E-7
14	0.979006E18	0.189775E11	0.194E-7
15	0.702701E20	0.265633E12	0.378E-8

- Gegeben n Stützstellen $\{x_1, x_2, \dots, x_n\}$, die Werte sind Samples einer $f : y_i = f(x_i)$. Falls f n -mal differenzierbar ist, gilt für das Interpolationspolynom $p(x)$:

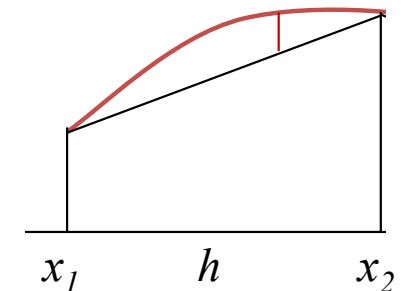
$$f(x) - p(x) = (x - x_1) \cdot (x - x_2) \cdot \dots \cdot (x - x_n) \cdot \frac{f^{(n)}(\xi)}{n!}$$

dabei ist ξ ein Wert zwischen $\min\{x, x_1, x_2, \dots, x_n\}$ und $\max\{x, x_1, x_2, \dots, x_n\}$

- Speziell $n=2$: lineare Interpolation

$$f(x) - p(x) = (x - x_1)(x - x_2) \frac{f^{(2)}(\xi)}{2} \quad \text{folglich}$$

$$|f(x) - p(x)| \leq \frac{h^2}{8} \max\{|f^{(2)}(\xi)|\}$$



In dem Ausdruck für den Fehler kommt eine Funktion vor:

$$w(x) = (x - x_1) \cdot (x - x_2) \cdot \dots \cdot (x - x_n)$$

- Verlauf der Funktion $|w(x)|$
- $w(x)$ oszilliert und wächst zu den Rändern hin (und über die Ränder hinaus, wenn man „Extrapolation“ machen möchte) stark an
- Dort muss mit sehr viel größeren Rekonstruktionsfehlern gerechnet werden!

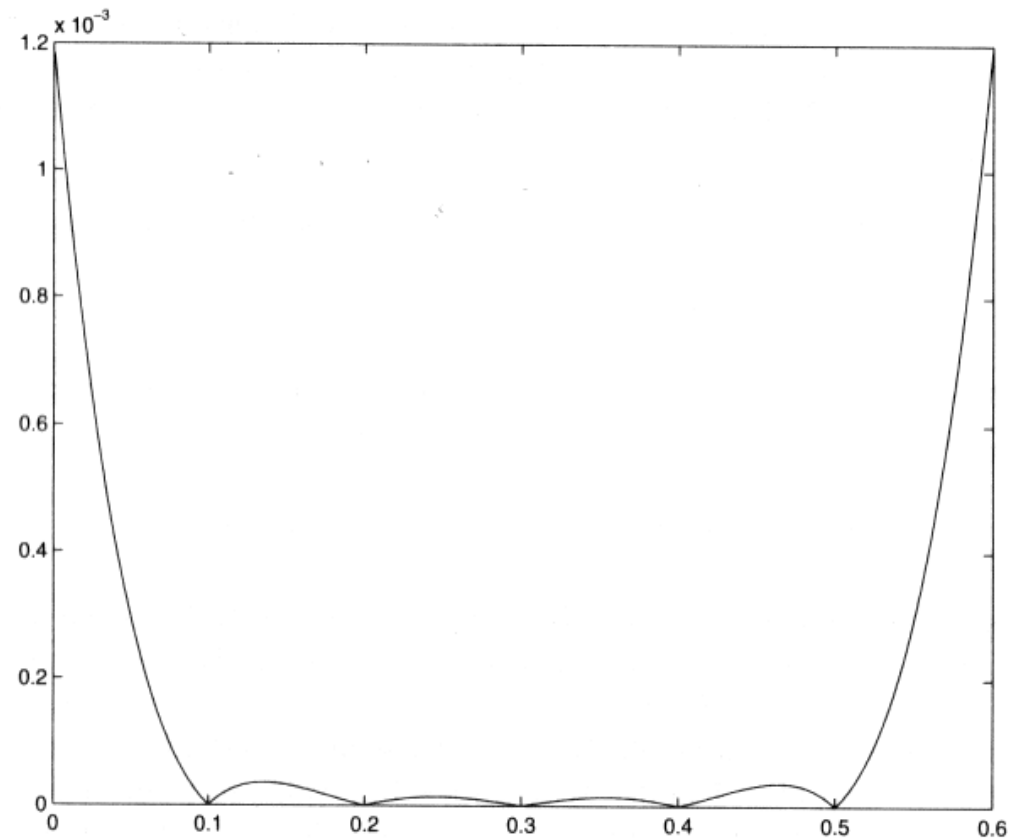
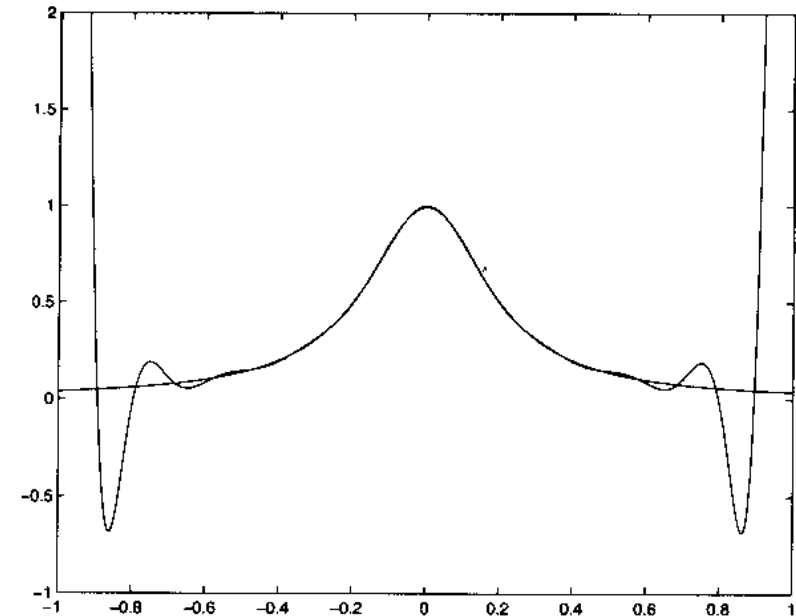


Abb. 14.5. Verlauf der Funktion $w(x)$ zu den Stützstellen 0.1, 0.2, 0.3, 0.4 und 0.5.

- Ein Beispiel : Runge Funktion

$$f(x) = \frac{1}{1 + 25x^2}, \quad (x \in [-1, 1])$$

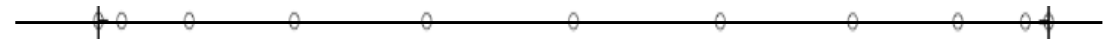
- ▶ 21 äquidistante Stützstellen im Intervall $[-1, 1]$
- ▶ Polynominterpolant vom Grad 20



- Selbst bei Verwendung von mehr äquidistanten Stützstellen wird das Ergebnis nicht besser (**keine Konvergenz!**)

- Ein Beispiel : Runge Funktion $f(x) = \frac{1}{1 + 25x^2}, \quad (x \in [-1, 1])$
- ★ Ausweg in diesem Fall: Verwendung nicht äquidistanter Stützstellen sog. Tschebycheff-Stützstellen (engl. Chebyshev)

$$x_i = -\cos\left(\frac{i-1}{n-1} \cdot \pi\right), \quad i = 1, 2, \dots, n$$



- Chebyshev-Polynome (reichhaltige Literatur!)
- In der Praxis oft die Lösung:
Vermeide Polynominterpolation für größeres n
- Verwende alternative Verfahren:
 - Catmull-Rom
 - B-Spline Interpolation

- Grundlage für geometrisches Modellieren
- Freiformkurven
- „Kontrollpunkte“ für den Designer anstelle von Interpolationspunkten
- Die Bernstein-Polynome vom Grad n

$$B_i^n(t) = \binom{n}{i} (1-t)^{n-i} t^i \quad (i = 0, 1, 2, \dots, n)$$

bilden ein Basis der Polynome (vom Grad n)

- Die Bernstein-Polynome vom Grad n

$$B_i^n(t) = \binom{n}{i} (1-t)^{n-i} t^i \quad (i = 0, 1, 2, \dots, n)$$

bilden ein Basis der Polynome (vom Grad n)

- Die Binomial-Koeffizienten $\binom{n}{i} = \frac{n!}{i! \cdot (n-i)!}$

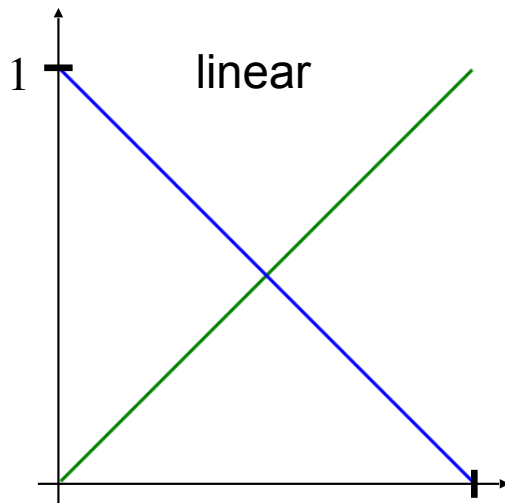
- Rekursive Definition
(Pascalsches Dreieck) $\binom{n+1}{i} = \binom{n}{i} + \binom{n}{i-1}$

- Binomische Formel $(a+b)^n = \sum_{i=0}^n \binom{n}{i} \cdot a^{n-i} b^i$

$$\begin{array}{ccccccc}
 & & & & & & 1 \\
 & & & & & 1 & 1 \\
 & & & 1 & 2 & 1 \\
 & & 1 & 3 & 3 & 1 \\
 1 & 4 & 6 & 4 & 1
 \end{array}$$

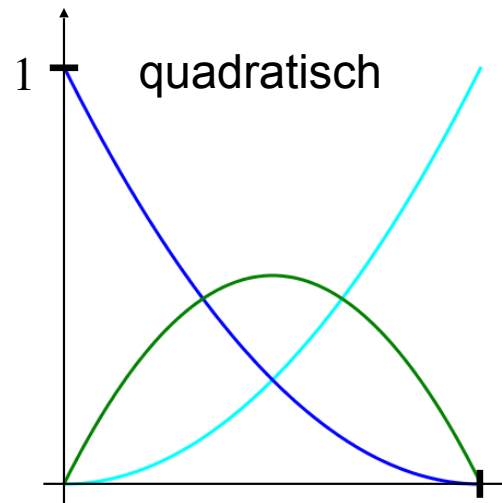
• Alternative 1: Basis aus **Bernstein**-Polynomen

$$B_i^{n-1}(x) = \binom{n-1}{i} (1-x)^{n-1-i} x^i \quad \mathbb{P}_{n-1} = \text{span} \{ B_0^{n-1}(x), B_1^{n-1}(x), \dots, B_{n-1}^{n-1}(x) \}$$



$$B_0^1(x) = 1 - x$$

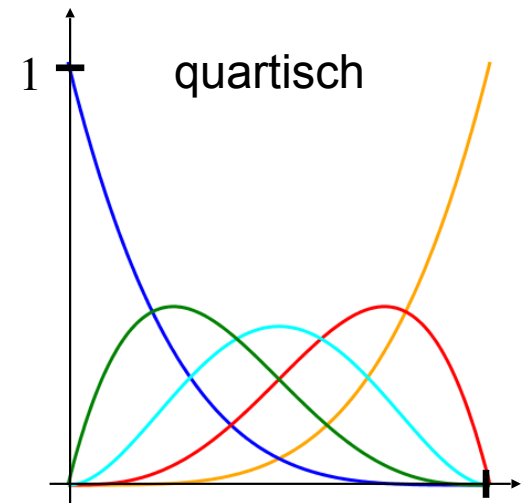
$$B_1^1(x) = x$$



$$B_0^2(x) = (1-x)^2$$

$$B_1^2(x) = 2(1-x)x$$

$$B_2^2(x) = x^2$$



$$B_0^4(x) = (1-x)^4$$

$$B_1^4(x) = 4(1-x)^3x$$

$$B_2^4(x) = 6(1-x)^2x^2$$

$$B_3^4(x) = 4(1-x)x^3$$

$$B_4^4(x) = x^4$$

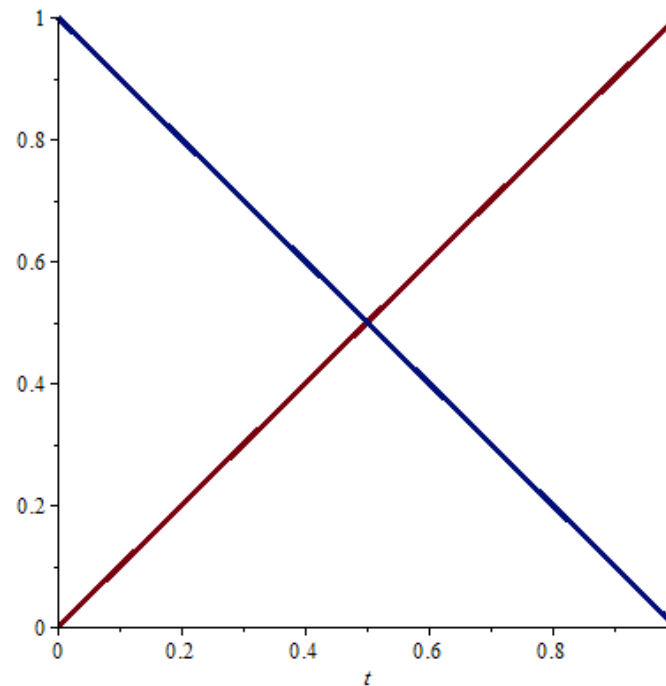
► **Eigenschaften:**

★ $B_0^n(x) \geq 0$ falls $0 < x < 1$

★ $\sum_{i=0}^n B_i^n(x) = 1$

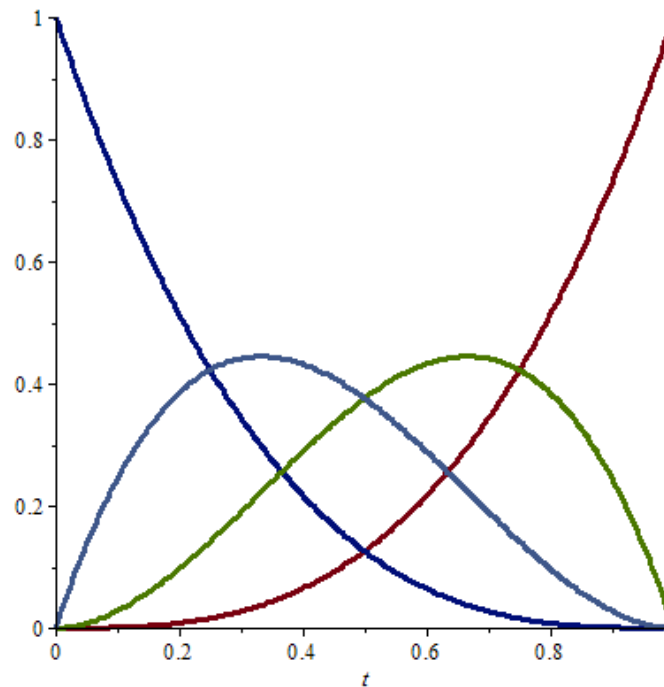
- Bernstein-Polynome vom Grad $n=1$

$$B_0^1(t) = 1 - t, \quad B_1^1(t) = t;$$



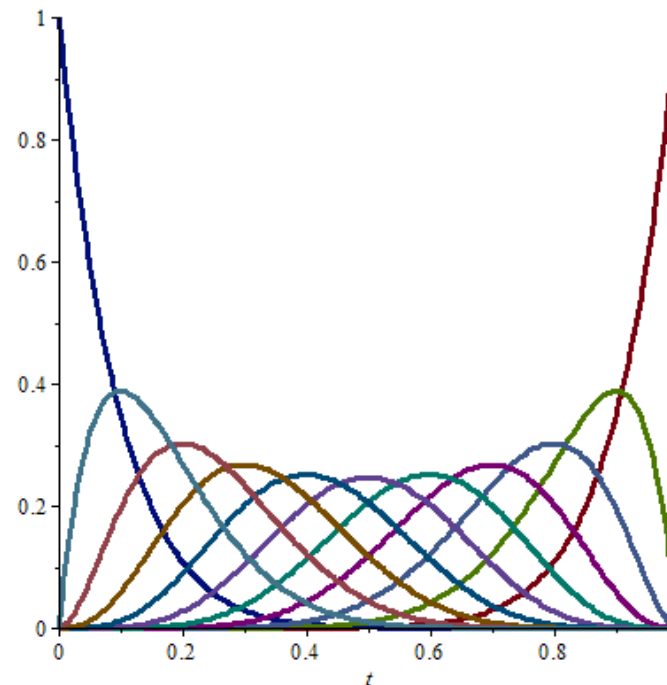
- Bernstein-Polynome vom Grad $n=3$
(kubische Bernstein-Polynome)

$$B_0^3(t) = (1-t)^3, B_1^3(t) = 3(1-t)^2 t, B_2^3(t) = 3(1-t)t^2, B_3^3(t) = t^3;$$



- Bernstein-Polynome vom Grad $n=10$

$$B_0^{10}(t) = (1-t)^{10}, B_1^{10}(t) = 10(1-t)^9 t, \dots, B_{10}^{10}(t) = t^{10};$$



$$B_i^n(t) = \binom{n}{i} (1-t)^{n-i} t^i \quad (i = 0, 1, 2, \dots, n)$$

- Es gilt

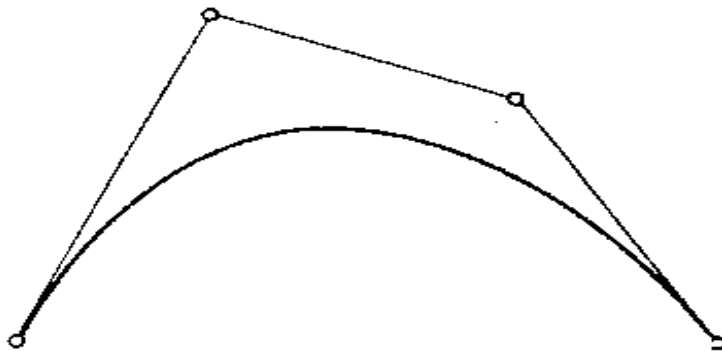
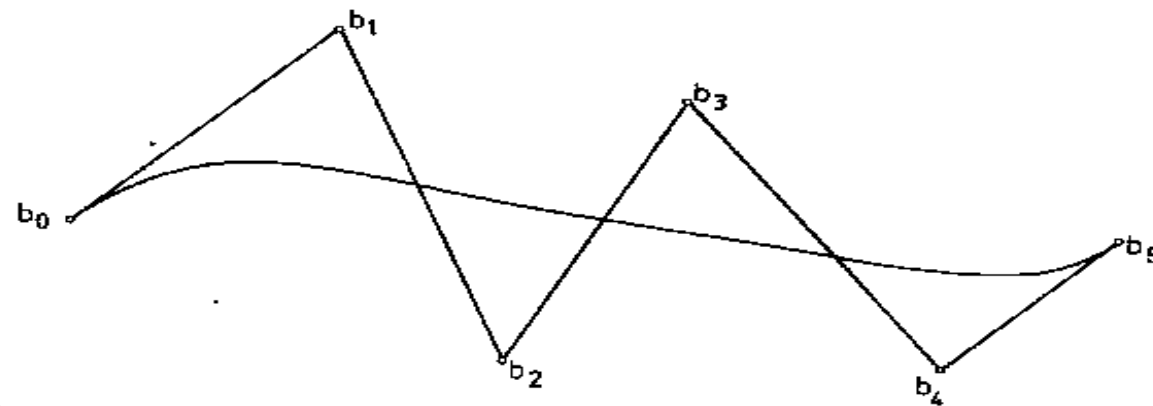
$$0 \leq B_i^n(t) \leq 1 \quad \text{für } t \in [0, 1]$$

$$B_i^n(t) \quad \text{hat eine } i\text{-fache Nullstelle in } t = 0$$

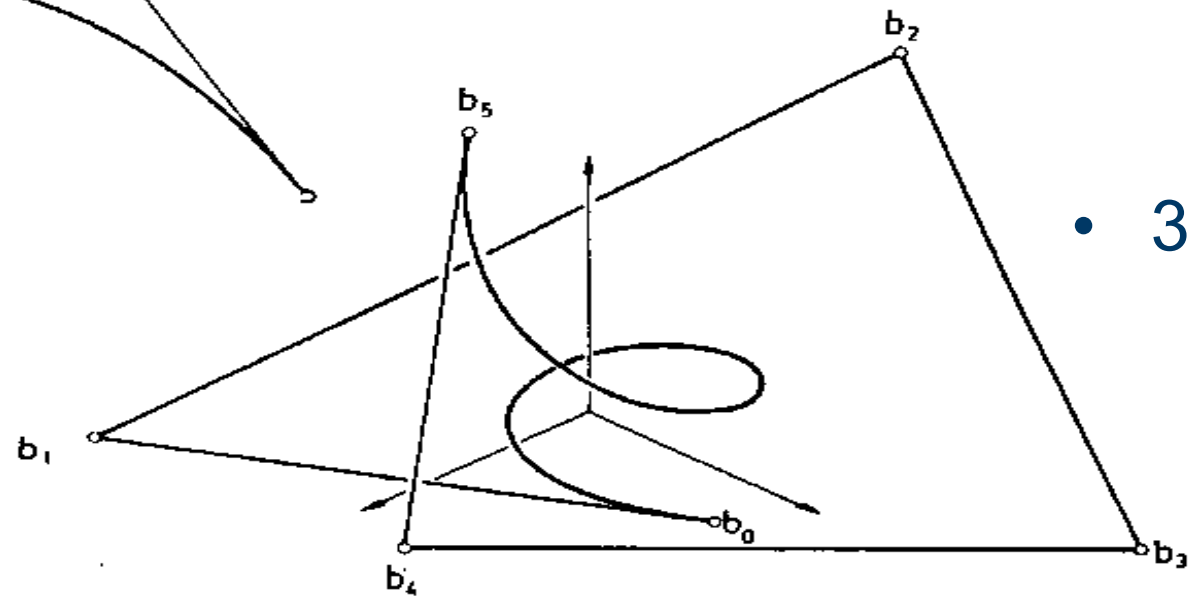
$$B_i^n(t) \quad \text{hat eine } (n-i)\text{-fache Nullstelle in } t = 1$$

$$\sum_{i=0}^n B_i^n(t) = 1 \quad \text{für alle } t$$

- 2D-Kurven



- 3D-Kurve



- Geometrie des Kontrollpolygons spiegelt (grob) die Geometrie der Kurve wider
- **Formeigenschaften**
 1. Interpolation der Endpunkte
 2. In den Endpunkten tangential an das Kontrollpolygon
 3. Bézier-Kurve liegt in der konvexen Hülle der Kontrollpunkte
 4. affine Invarianz
 5. Variationsreduzierend
- Konsequenz: Modifikation der Kontrollpunkte führt zu vorhersehbarer (intuitiver) Änderung der Bézier-Kurve.

- **Endpunkt-Interpolation**

$$C(0) = \sum_{i=0}^n b_i \cdot B_i(0) = b_0, \quad C(1) = \sum_{i=0}^n b_i \cdot B_i(1) = b_n$$

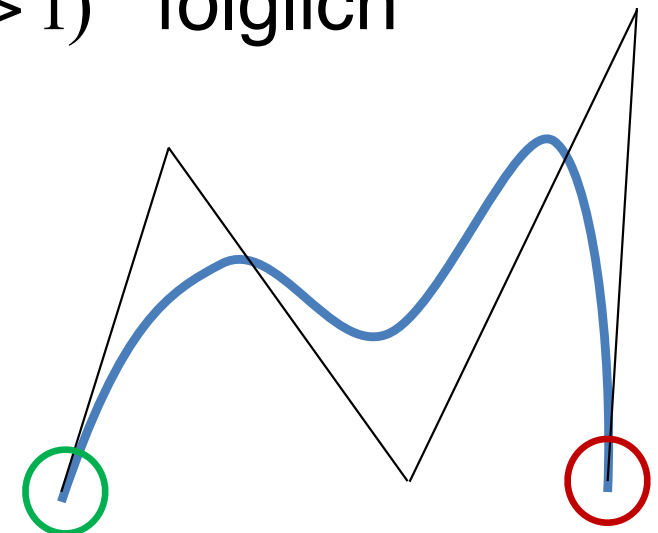
- **Tangentenbedingung**

$$C'(t) = \sum_{i=0}^n b_i \cdot B_i'(t), \text{ dabei}$$

$$B_0'(0) = -n, \quad B_1'(0) = n, \quad B_i'(0) = 0 \quad (i > 1) \quad \text{folglich}$$

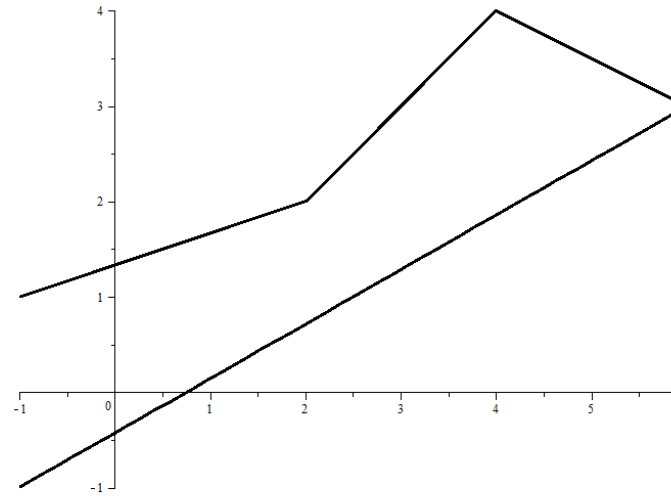
$$C'(0) = \sum_{i=0}^n b_i \cdot B_i'(0) = n(b_1 - b_0)$$

$$C'(1) = \sum_{i=0}^n b_i \cdot B_i'(1) = n(b_n - b_{n-1})$$

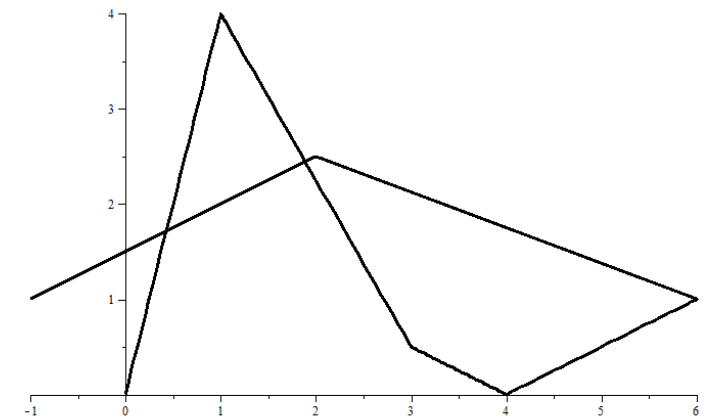


- ▶ Konvexe Hülle:
Bézier-Kurve liegt in **konvexer Hülle** ihrer Kontrollpunkte

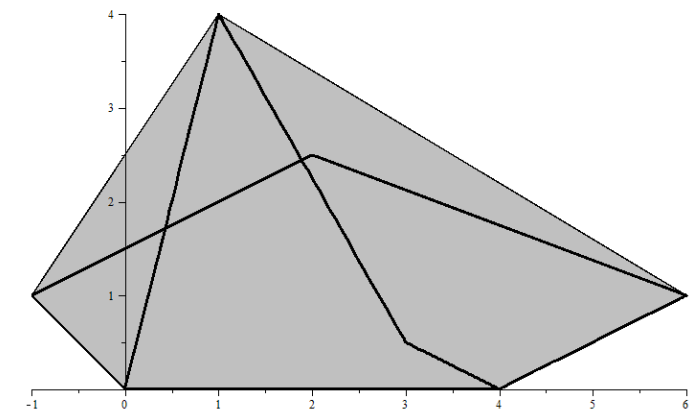
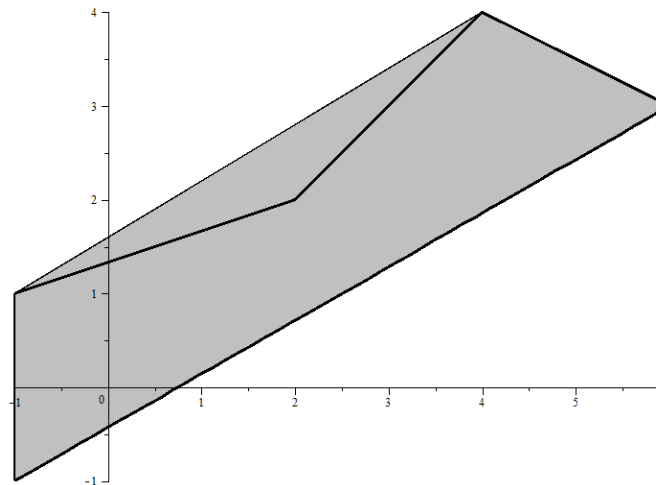
- Beispiele



convex hull property



convex hull property



- (Rekursive) Auswertung der Bernstein Polynome: teuer

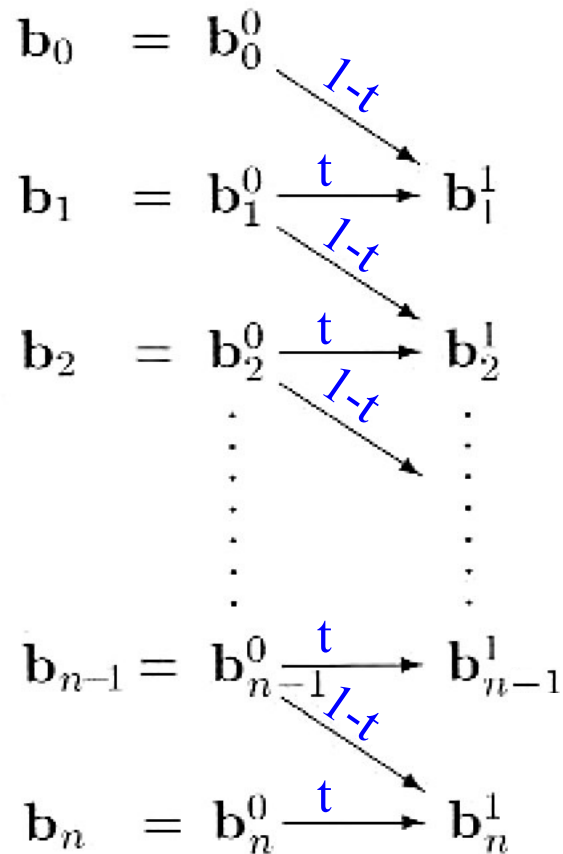
$$B_i^{r+1}(t) = (1-t)B_i^r(t) + tB_{i-1}^r(t)$$

$$B_i^0(t) = \begin{cases} 1 & \text{falls } i = 0 \\ 0 & \text{sonst} \end{cases}$$

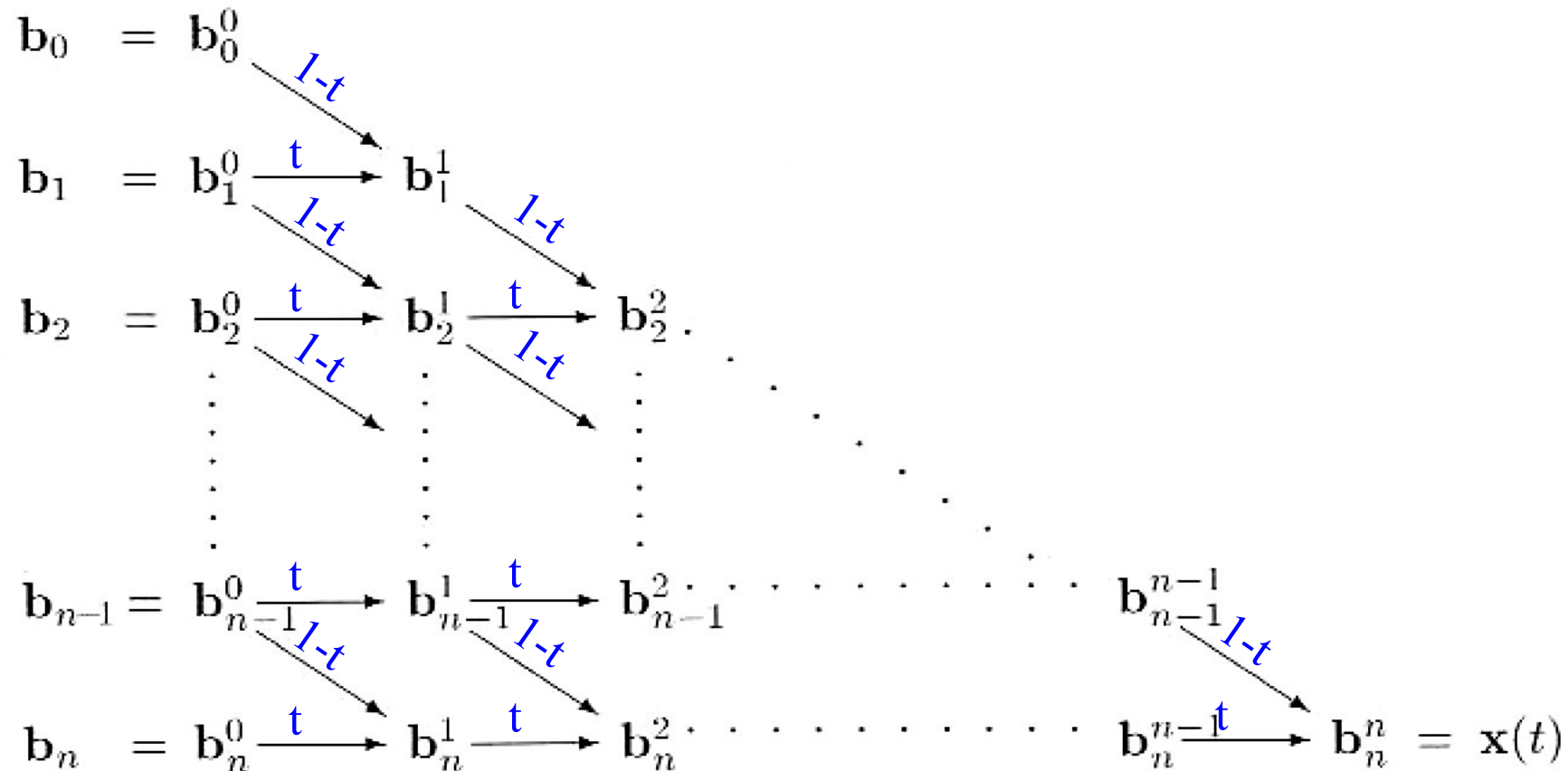
- oder durch **Horner-Bézier**: effizient

$$\begin{aligned} C(t) &= \sum_{i=0}^n b_i B_i^n(t) = \sum_{i=0}^n b_i \binom{n}{i} (1-t)^{n-i} t^i \\ &= (1-t)^n \left(\tilde{b}_0 + \tilde{b}_1 \left(\frac{t}{1-t} \right)^1 + \dots + \tilde{b}_{n-1} \left(\frac{t}{1-t} \right)^{n-1} + \tilde{b}_n \left(\frac{t}{1-t} \right)^n \right) \\ &= t^n \left(\tilde{b}_0 \left(\frac{1-t}{t} \right)^n + \tilde{b}_1 \left(\frac{1-t}{t} \right)^{n-1} + \dots + \tilde{b}_{n-1} \left(\frac{1-t}{t} \right)^1 + \tilde{b}_n \right) \end{aligned}$$

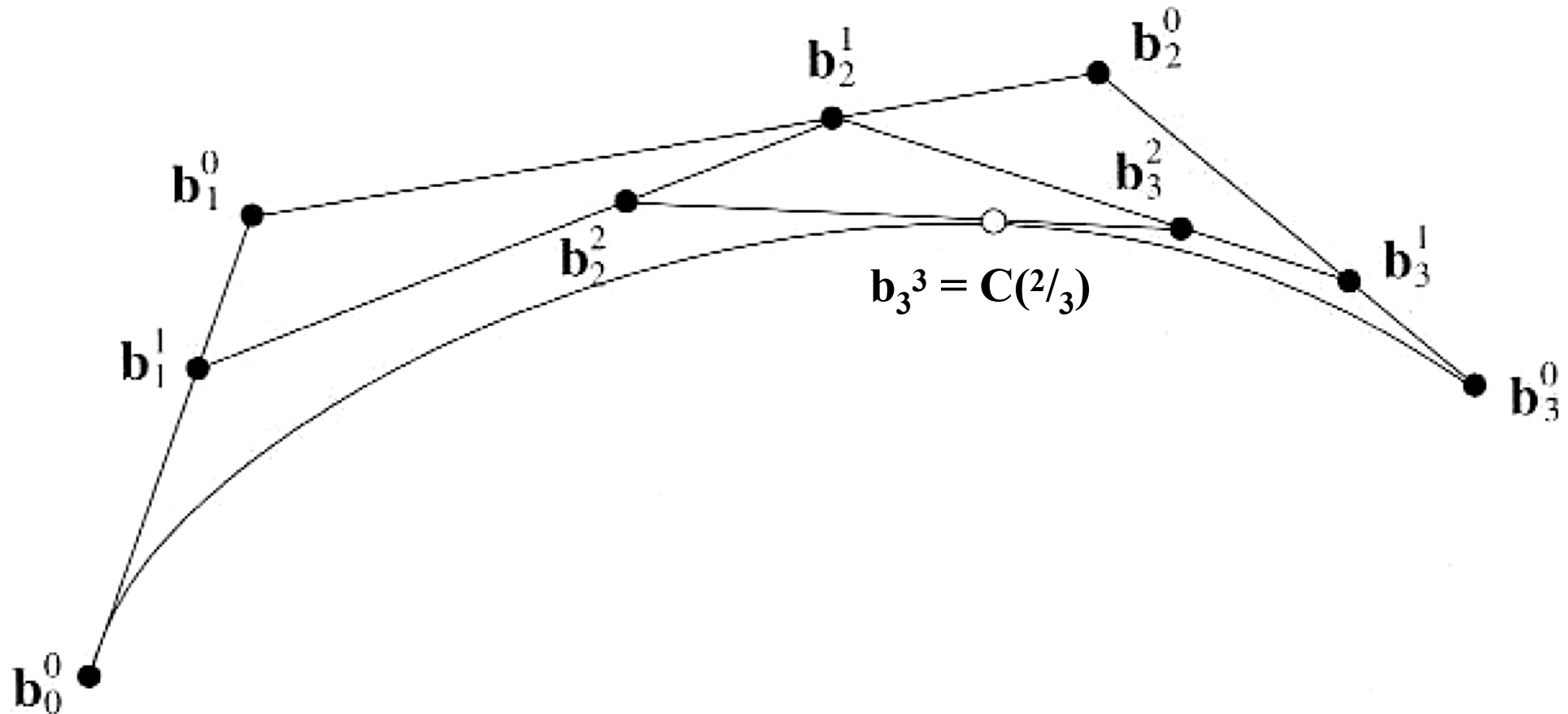
- Oder durch fortgesetzte lineare Interpolation:
der **Algorithmus von de Casteljau** (stabil)



- Oder durch fortgesetzte lineare Interpolation:
der **Algorithmus von de Casteljau** (stabil)



- der **Algorithmus von de Casteljau** (geometrisch)



Algorithmus von *de Casteljau* für $t = 2/3$ und $n = 3$

- Algorithmus von *de Casteljau*: PseudoCode

```
# Initialisierung
for i = 0..n
     $b_i^0 = b_i;$ 

# deCasteljau Pyramide/Dreieck
for k = 1..n
    for i = k..n
         $b_i^k = (1-t) * b_{i-1}^{k-1} + t * b_i^{k-1}$ 

return  $b_n^n$  # Kurvenpunkt  $C(t)$ 
```


- Polynome sind zur Interpolation/Rekonstruktion geeignet, aber nur wenn der Polynomgrad nicht zu hoch ist.
- Andernfalls
 - Wird das Gleichungssystem für die Polynomkoeffizienten sehr schlecht konditioniert
 - Der Fehler oszilliert und wird an den Rändern des Interpolationsintervalls sehr groß
 - Man kann diese Probleme durch geeignete andere Wahl der Stützstellen (teilweise) kompensieren.
- Lagrange-Polynome für theoretische Untersuchungen hilfreich aber ungeeignet zur numerischen Behandlung
- Andere Polynom-Basen (Bernstein, Lagrange, Newton)
- Praktische Berechnung: Algorithmus von Aitken-Neville
 - numerisch stabil und Aufwand $O(n^2)$
 - Effiziente Auswertung mittels Hornerschema